Aus der Poliklinik für Zahnerhaltung und Parodontologie der Klinik für Zahn-, Mund- und Kieferkrankheiten der Universität München Vorstand: Prof. Dr. Reinhard Hickel

Klinische Studie zur Versorgung von Klasse-V-Kavitäten mit lichthärtenden Glasionomerzementen, Kompomer- und Kompositfüllungen

Dissertation zum Erwerb des Doktorgrades der Zahnheilkunde an der Medizinischen Fakultät der Ludwig-Maximilians-Universität zu München

vorgelegt von Cornelia Elisabeth Maria Loher Vilsbiburg

Mit Genehmigung der Medizinischen Fakultät der Universität München

Berichterstatter:

Prof. Dr. R. Hickel

Mitberichterstatter:

Mitbetreuung durch den promovierten Mitarbeiter:

Priv.-Doz. Dr. P. Rammelsberg Priv.-Doz. Dr. K. Schümann

Dr. K.-H. Kunzelmann

Tag der mündlichen Prüfung:

25.06.1996

Dekan:

Prof. Dr. med. Dr. h. c. K. Peter



In Dankbarkeit meinen lieben Eltern gewidmet \$



2.4 2.3.4 2.3.3 2.3.1 2.3.2 2.2.2 2.2.1 2.2 2.1 ယ ယ 5 2.4.3 2.4.1 2.4.2 3.3.1 Allgemeiner Befundbogen 2.5.1 Lichthärtende Glasionomerzemente Inhaltsverzeichnis Chemische Zusammensetzung Adhäsive Mikromechanische Verankerung Chemischer Dentinverbund Haftmechanismen Glasionomerzemente Primer Selbstkonditionierende Primer Dentinätzung Einleitung Kompomere Abbindevorgang Konditionierungsmittel (Conditioner) Entfernung der Schmierschicht Teilweise Erhaltung der Schmierschicht - Erhaltung der Schmierschicht Adhäsionsmechanismen Dentin Literaturübersicht Glasionomer-Komposit-Kombinationen Dentinadhäsiv-Systeme Vorbereitungssitzung Patientengut Verwendete Materialien **Material und Methode** Zielsetzung der klinischen Studie 25 26 26 27 27 25 ი თ

3.4.2 Farbauswahl

3.4.1 Vorbereiten des Arbeitsfeldes

 $\frac{3}{2}$

Behandlungssitzung

3.3.2

Spezieller Befundbogen

Seit	
(P	

1 Einleitung

3.5 Nachuntersuchung	3.4.3 Prāj 3.4.4 Untt 3.4.5 Aus 3.4.6 Leg 3.4.7 Aus 3.4.8 Pho 3.4.9 Dok
Nachuntersuchung	 3.4.3 Präparation 3.4.4 Unterfüllung 3.4.5 Auswahl der Matrize 3.4.6 Legen der Füllung, Materialverarbeitung 3.4.7 Ausarbeitung und Politur 3.4.8 Photodokumentation und Abdrucknahme 3.4.9 Dokumentationsbogen
37	32 32 33 33 35 37

<u>ც</u>	Nachuntersuchung	37
3.5.1	3.5.1 Gegenstand der Nachuntersuchung	37
3.5.2	Nachuntersuchungsintervalle	88
3.5.3	3.5.3 Nachuntersucher	38
3.5.4	3.5.4 Durchführung der Nachuntersuchung	38

_	4.	4	မှာ မှာ
)	4.1		5.5
	Farbstabilität und Oberfläche/Textur	Ergebnisse	3.5.5 Prinzip der Nachuntersuchung3.5.6 Füllungsverlust
	48	43	38 42

1.4	*.2 National actitions was a second of the s	49
4.3	Füllungsrand Schmelz/Wurzelzement	50
4.4	Anatomische Form/Füllungsverlust	52
4.5	Statistische Auswertung	53
O 1	Diskussion	57

	Cumonotic Desireting
Ċī	Diskussion
5.1	Verfärbungen und Veränderungen der Oberflächentextur
5.2	Randverfärbungen
5.2.1	5.2.1 Füllungsüberschüsse

				N	_
Literaturverzeichnis	Zusammenfassung	Schlußfolgerung	Anatomische Form	.2 Füllungsunterschuß	
တ္တ	64	62	61	60	Į

6

5.2.2 Füllungsunterschuß

zwischen dem 25. und 35. Lebensjahr anzusetzen ist (Klimm und Graehn 1993). der restaurativen Zahnheilkunde verdanken wir eine steigende Anzahl von Patienten, Der fortschreitenden Prävention von Zahnerkrankungen und neuen Entwicklungen in Zahnhalsdefekte erhöht sich mit zunehmendem Alter, wobei der Hauptzuwachs eigene Dentition bis ins hohe Alter behalten. Die Prävalenz der

der Wirkung äußerer Einflüsse ausgesetzt ist, wie z. B. Abrasion und Säureangriff Entblößung der Schmelz-Zement-Region, einem locus minoris resistentiae, der damit nach wie vor ein Problem dar (Hickel 1992, Hickel 1994) zementbegrenzter Klasse-V-Kavitäten mit randdichten, plastischen Füllungen stellt Versorgung zervikal liegender, teilweise schmelz-, teilweise dentin- oder von Abrasion (Mierau und Völk 1987), Erosion (Nienkarken 1992), Karies (Harndt destruktive Prozesse multifaktorieller Genese zugrunde, die in einem Zusammenspiel Den an diesen Prädilektionsstellen entstehenden Zahnhatsdefekten liegen chronisch-Degenerative Prozesse am Parodont führen bei älteren Patienten verstärkt zur 1955) und okklusalem Trauma (Körber 1962) zu sehen sind (Levitch 1994). Die

et al. 1976). Die nach zervikal abnehmende Schichtdicke des Schmelzmantels Graehn 1993, Heymann und Bayne 1993). Klinisch akzeptable Haftung im Dentin bzw und erschweren somit die Anwendung erfolgreicher Säureätztechnik (Klimm und Brüchigkeit sowie begrenzte Permeabilität der dünn auslaufenden Schmelzschicht Abnahme und unregelmäßige Anordnung der Schmelzprismen, zunehmende Bereich der Zähne gutes Randverhalten und hohe Haftwerte über Jahre hinaus (Lutz mikromechanischer Ebene bietet bei rein schmelzbegrenzten Kavitäten im koronaler Kompositfüllungsmaterialien aufnahmefähig gemacht. Diese Verankerung auf Säurekonditionierung Zahnschmelz verhindern jedoch in der Zahnhalsregion die Entstehung eines optimalen Ätzmusters wird in Verbindung mit Schmelzhaftvermittlern (Bond) für heute ∄. angeschrägten Füllungsrandgebiet durch

Danksagung Lebenslauf

82 83

Anhang

Wurzelzementbereich konnte lange Zeit nur durch substanzraubende, unterschnittige Präparationen (makromechanische Retention) erzielt werden.

Ein Zustandekommen ausreichender chemischer Adhäsion war, begründet durch schlechtes Anfließverhalten lichthärtender, hydrophober Komposite an hydrophiles Dentin, nicht erreichbar. Der Einsatz von Dentinhaftvermittlern ermöglicht durch mikroretentiven Komposit-Dentinverbund eine deutliche Verbesserung der Füllungsretention und der Randschlußqualität (Lutz et al. 1993).

Bei der Verwendung konventioneller Glasionomerzemente zur Versorgung von Klasse-V-Kavitäten steht einer besseren, chemischen Dentinhaftung sowie der Abgabe von Fluoridionen eine relativ niedrige Verschleißfestigkeit, teilweise unbefriedigende Ästhetik sowie Anfälligkeit gegenüber Feuchtigkeit während der Aushärtungsphase und Austrocknung, gegenüber (Hickel 1989, Kullmann 1985, Mount 1993).

Die Entwicklung der lichthärtenden Glasionomerzemente bzw. der Kompomere stellt einen neuen Ansatz zur Versorgung dieser Defekte dar. Von der Kombination der Vorteile von Glasionomerzementen, wie chemische Haftung am Dentin, Randständigkeit (Kullmann 1986, Maldonaldo et al. 1978) und Fluoridionenabgabe (Forsten 1977) mit den Vorteilen der Kunststoffanteile, wie Lichthärtung, bessere Polymerisationskinetik mit dadurch erhöhter Biegefestigkeit, geringerer Löslichkeit und sofortiger Bearbeitbarkeit erwartet man einen Fortschritt im Bereich der Entwicklung einer hochwertigen ästhetischen Füllungstherapie (Krejci 1993).

2 Literaturübersicht

2.1 Dentin

Dentin besteht zu 18 Gew.% aus organischen Bestandteilen (Kollagen), zu 12 Gew.% aus Wasser und zu 70 Gew.% aus anorganischen Komponenten (Hydroxylapatit) (Klimm und Graehn 1993). Die Struktur wird geprägt durch ein System radiär verlaufender Dentintubuli unterschiedlicher Verteilungsdichte, Länge und Größe. Die geringste Dichte an Dentintubuli findet sich in der Zahnhalsregion (Schröder 1987).

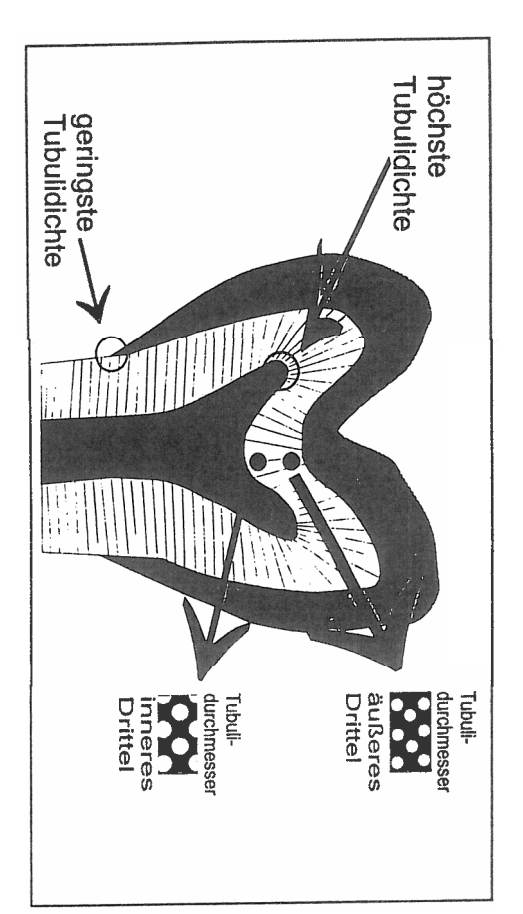


Abb. 1: Schematische Ansicht der unterschiedlichen Verteilungsdichte und Durchmesservariation der Dentintubuli zwischen Schmelz-Dentin-Grenze und Pulpa (Schema nach Pashley).

Die bezüglich der Haftung von Füllungsmaterialien relevanten Strukturen sind die Dentintubuli, sowie das intertubuläre Dentin. Die Tubuli sind von peritubulärem Dentin umgeben und beinhalten Odontoblastenfortsätze, einen Kollagenfaserschlauch sowie Dentinliquor. Intertubuläres Dentin setzt sich zusammen aus einem Kollagennetzwerk, darin eingelagert, Hydroxylapatitkristalle und Dentinliquor. Dentinliquor, in der Pulpa gebildet, ist stark proteinhaltig, an Ca²+- und PO₄²-- lonen gesättigt und zeigt eine

Fließrichtung zur Zahnoberfläche hin, die durch den pulpalen Gewebedruck von 20 bis 30 mm Hg verursacht wird (Lutz et al. 1993, Swift et al. 1995). Die Dentinpermeabilität kann alternsbedingt durch Verdickung des peritubulären Dentins, reizbedingt durch Bildung von Tertiärdentin, durch Dentinsklerosierung sowie durch oberflächliche Mineralisation abnehmen (Pashley und Pashley 1991). Dadurch wird die Anwendung adhäsiver Restaurationstechniken erschwert (Van Meerbeek et al. 1994b).

Bei Behandlung der Dentinoberfläche mit rotierenden Instrumenten entsteht eine 1-2 µm dicke Schmierschicht aus Hydroxylapatitkristallen und denaturiertem Kollagen. Dieser Smearlayer reduziert die Fließrate der Tubuliflüssigkeit (Prati 1994), fungiert als biologischer Wundverband und vermindert damit die postoperative Empfindlichkeit (Heyman und Bayne 1993). Inhomogen, mit Mikroorganismen infiziert und in sich wenig kohärent hat der Smearlayer jedoch nur schwache Verbindung zum darunterliegenden strukturierten Dentin und ist deshalb als Bindungspartner bei adhäsiven Restaurationen ungeeignet (Erickson 1992).

2.2 Adhäsionsmechanismer

Dentin als vitales Gewebe zeigt sich von seinem chemischen Verhalten her als hydrophile Substanz, und kann in vivo aus physikalischen Gründen nicht absolut getrocknet werden. Ein direkter Verbund des hydrophilen Dentins mit hydrophoben lichthärtenden Kompositmaterialen ist nicht möglich, es bedarf daher des Einsatzes von Dentinadhäsiven, deren Aufgabe zum einen in der Haftung am Dentin, zum anderen in der Haftvermittlung zum Komposit besteht (Lutz et al. 1993).

2.2.1 Dentinätzung

In Anlehnung an die Säure-Ätz-Technik an Schmelzoberflächen (Buonocore 1955) versuchte man eine mikromechanische Retention der Komposite am Dentin zu erzielen. Das Dentin wurde mit Phosphorsäure (30-40%) angeätzt und anschließend ein konventionelles Schmelzadhäsiv und Kompositfüllungsmaterial appliziert. In zweierlei Hinsicht problematisch erwies sich dabei die durch die Säure verursachte Öffnung der Dentinkanälchen. Zum einen erfolgte ein übermäßiger Austritt von

Bereich der Bindungsgrenzfläche verhinderte eine effektive Verbindung Flüssigkeitsfilms auf der Dentinoberfläche. Der Gegendruck des Dentinliquors im Dentinliquor aus der Pulpa durch die Tubuli und damit eine Verstärkung des hydrophoben Adhäsivs mit der feuchten Dentinoberfläche (Farah et al. 1991, Prati et zurückzuführen, weil es dadurch bei mechanischer und thermischer Belastung zur Erkenntnissen ist dies auf die Spaltbildung zwischen Dentinoberfläche und Füllung mit Säure stattgefunden hat (Götze 1980, Stanley et al. 1975). Nach heutigen Füllungsmaterialien auf die Pulpa verstärkt, sobald eine Vorbehandlung des Dentins Untersuchungen, Verformung der Füllung mit Flüssigkeitsbewegung in den Dentintubuli kommen kann 1991, Van Meerbek et al. daß sich die Intensität einer 1994a). Zum anderen zeigten histologische Reizwirkung plastischer

2.2.2 Chemischer Dentinverbund

Der nächste Schritt in der Entwicklung einer Haftverbesserung von Kompositmaterialien am Dentin war der Versuch, echte Adhäsion an anorganische und/oder organische Dentinbestandteile mit Hilfe bifunktioneller Basismoleküle herzustellen. Diese waren ausgestattet mit einer freien Methacrylat-Doppelbindung (bis-GMA = Bisphenol-A-glycidyl-methacrylat, HEMA = Hydroxyethylmethacrylat) zur Kopolymerisation mit dem Komposit und einer aktiven Gruppe (z.B. Phosphate, Chlorophosphate, Carboxylate) zur Ionen- oder Chelatbindung mit Calciumionen des Dentins. Aldehyd und Isocyanatgruppen sollten kovalente Bindungen zu Kollagenbestandteilen des Dentins eingehen (Haller 1994). Die Dentinvorbehandlung erfolgte mit einer desinfizierenden Lösung, anschließend wurden bifunktionelles Adhäsiv und Komposit appliziert. Aufgrund der unbehandelten Schmierschicht konnten mit dieser Verfahrensweise nur Haftwerte von 2 - 6 MPa erzielt werden, die die relativ geringe Eigenfestigkeit des Smearlayers am Dentin nicht überschritten (Yuet al. 1990, Haller 1994).

2.2.3 Mikromechanische Verankerung

In Abhängigkeit von der Vorbehandlung der Dentinoberfläche und der Schmierschicht lassen sich hierbei grundsätzlich drei Vorgehensweisen unterscheiden:

Erhaltung der Schmierschicht

Bifunktionelle Monomere (Primer) sollen die schwach gebundene Schmierschicht in den Dentintubuli infiltrieren, und mit dem darunterliegenden Dentin eine mikromechanische oder sogar chemische Bindung eingehen. Die Verfilzung von infiltrierten Monomeren mit den Strukturen der Schmierschicht wird als *Entanglement* bezeichnet (Hellwig 1995). Meist kommen hier Zweikomponentensysteme zum Einsatz, die sich vor allem mittels elektrostatischer Anziehungskräfte an die Dentinoberfläche binden. Da die Schmierschicht in der Regel mit Bakterien infiziert ist, sind diesen Primerlösungen antibakterielle Mittel zugesetzt (Van Meerbeek et al. 1994a).

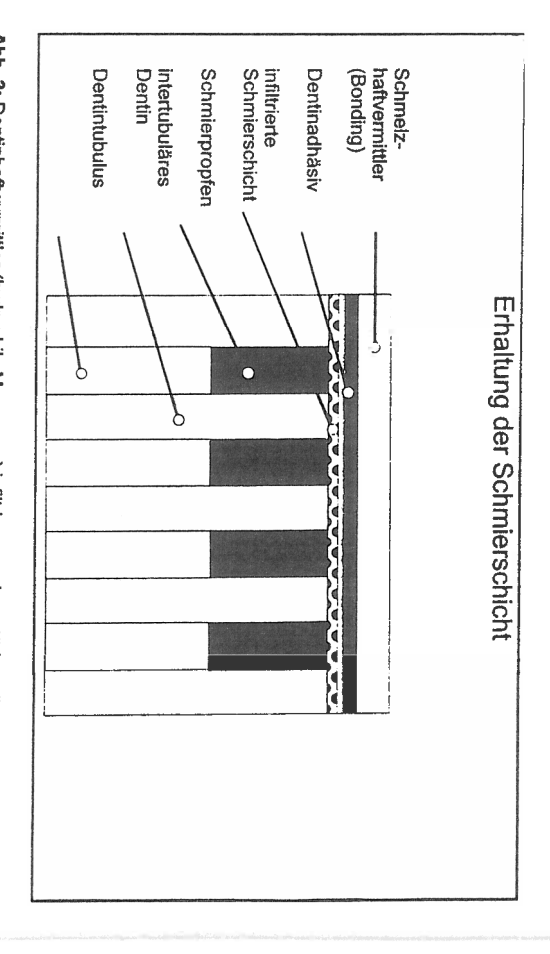


Abb. 2: Dentinhaftvermittler (hydrophile Monomere) infiltrieren und verstärken die Schmierschicht

Entfernung der Schmierschicht

Die Entfernung der Schmierschicht erfordert den Einsatz von Säuren oder Chelatbildnern (EDTA=Ethylendiamintetraessigsäure), die die oberflächlichen Dentinschichten ausreichend entkalken. Die erreichbare Entkalkungstiefe, abhängig

von der Ätzkraft und Applikationsdauer des Konditioners, schwankt zwischen 0,5 bis 7,5 µm. Durch selektive Entfernung von Kalziumphosphaten wird ein Kollagenfasernetzwerk freigelegt, das ohne seine mineralische Stütze zu einem dichten Bündel kollabiert und sich auf darunterliegendem, nicht entkalkten Dentin ablagert. Dieses kollagene Netzwerk kann nun durch die Applikation von bifunktionellen Monomeren so verändert werden, daß die Infiltration des Adhäsivs begünstigt wird. Durch Monomereinlagerung und Polymerisation zwischen den Kollagenfasern entsteht ein sogenannter *Hybridlayer* als mikromechanische Verbindung zwischen dem tieferen, nicht entkalkten Dentin und dem Komposit (Van Meerbeek et al. 1994a). Gleichzeitig dringen die Primer in die Dentinkanälchen ein und bilden hier nach Aushärtung Zapfen oder *tags* (Hellwig 1995).

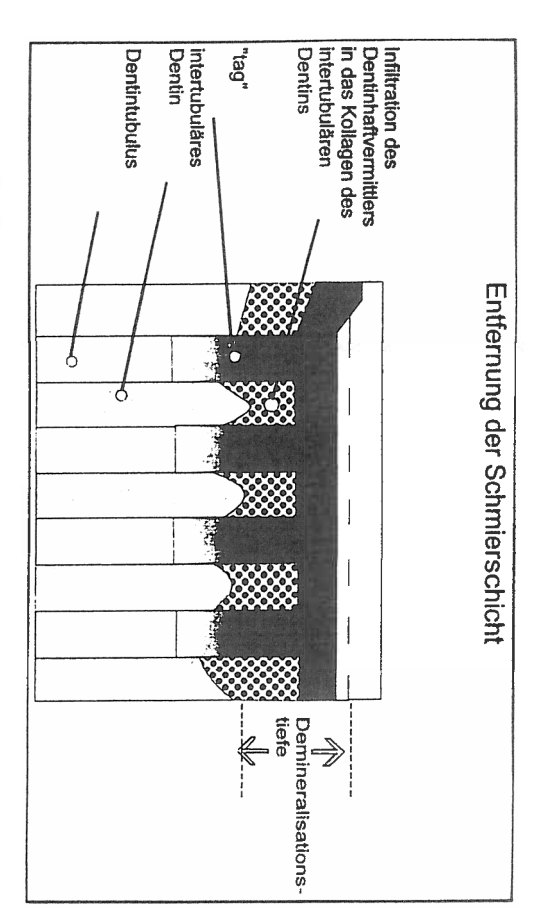


Abb. 3: Nach Konditionierung der Dentinoberfläche mit Säuren oder Chelatbildnern kommt es zur vollständigen Auflösung der Schmierschicht. Die Dentintubuli sind geöffnet, das intertubuläre Dentin wird demineralisiert, Kollagen wird freigelegt. Nach Einsickern des Dentinadhäsivs entsteht eine Hybridschicht aus hydrophilen Monomeren und Kollagen, sowie "tags" in den Dentintubuli.

Teilweise Erhaltung der Schmierschicht

Diese Vorgehensweise ist, im Bezug auf den Bindungsmechanismus als Mittelweg zwischen o.g. Verfahrensweisen zu betrachten.

Die Dentinkanälchen bleiben durch einen modifizierten Schmierschichtpfropfen verschlossen, es kommt zu zwei Verbundmechanismen. Man findet eine dünne Hybridschicht, im Bereich des intertubulären Dentins (Van Meerbeek et al. 1994a) und eine Verbindung der Primermoleküle mit der ausgefällten Schmierschicht (Hellwig 1995).

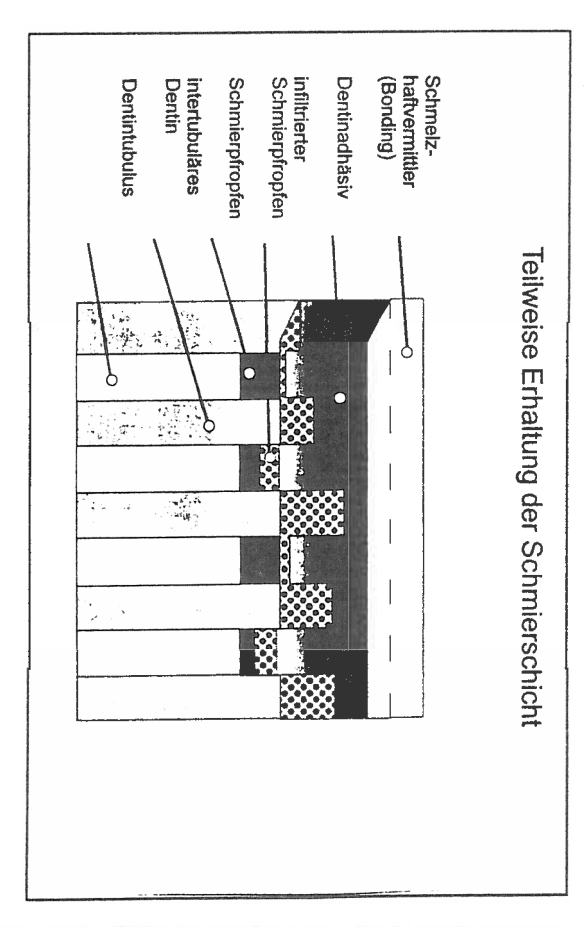


Abb. 4: Dentinhaftvermittler mit entrnineralisierenden Bestandteilen lösen die Schmierschicht auf und demineralisieren das Dentin minimal. Ein Teil der Schmierschicht repräzipitiert. Es entstehen eine infiltrierte Schmierschicht, infiltrierte Schmierpfropfen und eine Verbindung zum oberflächlichen, freigelegten Kollagen des intertubulären Dentins.

2.3 Dentinadhäsiv-Systeme

Da ein direkter Verbund zwischen Komposit und Dentin nicht gelungen ist, wurden zur Haftverbesserung von Kompositmaterialien am Dentin die sogenannten Dentinadhäsive entwickelt. Ein zusammenfassender Überblick über ihre Entwicklungsstufen läßt eine Einteilung in vier Generationen zu:

Die erste Generation Dentinadhäsive, basierend auf einem Bowen-Harz (Bis-GMA) ermöglichte eine bessere Benetzung der Schmelz- und Dentinoberflächen, zeigte jedoch so gut wie keine eigentliche Haftung am Dentin. Diese Adhäsive entsprachen im Prinzip dem heute gängigen (Schmelz-) Bonding-Materialien, als Dentinadhäsive sind sie jedoch wirkungslos.

Die zweite Generation der Dentinadhäsive, basierend auf Phosphatestern und Methacrylaten erreichte erstmals meßbare Haftung am Dentin. Durch Ionenbindung zu Calcium im Hydroxylapatit des Dentins wurden mit diesen Adhäsiven Dentinbindungen von 2-5 MPa erzielt. Die erreichte Haftung wurde jedoch durch Hydrolyse der Esterbindungen rasch wieder abgebaut. Da nach kurzer Zeit keine Bindung mehr vorhanden war, gelten auch diese Adhäsive heute als unwirksam und überholt.

dieser Materialien ausgesprochen werden. Form vor, deshalb können noch keine generellen Empfehlungen für den Einsatz PMDM-4-Meta), besitzt ausgesprochen hydrophile Eigenschaften und erreich und noch nicht vollständig geklärt, diskutiert wird eine erhöhte Benetzbarkeit des Die dritte Generation Dentinadhäsive, basierend auf verschiedenen Monomeren bezüglich Haftwerten und Beständigkeit dieser Adhäsive liegen nicht in ausreichender Dentin. Wissenschaftliche Untersuchungen zur Verifizierung der Herstellerangaben für den Einsatz dieser Adhäsive ist das gleichzeitige Anätzen von Schmelz und dadurch auch im feuchten Milieu (Dentinliquor) Haftwerte bis 30 MPa. Charakteristisch vierte Generation Dentinadhäsive, basierend auf komplexen Monomeren (PDMD dritten Generation gelten heute als "state of the art" (van Meerbeek et al. 1994a). Die Dentins mit dem Komposit (Ausbildung von Kunststoff-Tags). Die Dentinadhäsive der Haftwerte zum Dentin im Bereich von 7-15 MPa. Ihre Wirkungsweise ist sehr komplex Vorbehandlung der Dentinoberfläche (Konditionierung / Priming). Sie zeigen alle gute TGDMA, UEDMA, u.s.w.) in Azeton oder Ethanol, erfordert eine

Derzeitige Dentinadhäsiv-Systeme sind in ihrem Aufbau meist mehrteilig: Konditionierer-Primer-Adhäsiv-Komposit. Die Darstellung ihres Anwendungsprinzips, ihrer Zusammensetzung und Wirkung erfordert eine Definition der einzelnen Komponenten.

2.3.1 Konditionierungsmittel (Conditioner)

Konditionierer sind hydrophile, wässrige Lösungen, die Zahnoberflächen durch Säurewirkung oder Chelatbildung mit Kalzium reinigen, dabei die Schmierschicht weitgehend entfernen und das oberflächliche Dentin entkalken. Je nach Zusammensetzung zeigen sie durch Ätzung oder Demineralisation folgende Wirkung am Dentin:

Wirkstoffe der Konditionierer	Effekte am Dentin
*Säuren (Benztrauben-, Essig-,	* Auflösung der Schmierschicht
Malein-, Oxal-, Phosphor-, Salpeter-,	* Öffnung der Dentintubuli
Zitronensäure)	* Demineralisation des
*Metallsaize (Al-, Ca-, Fe-)	Oberflächendentins
*Aminosäuren	* Freilegen des Kollagennetzes
- Glycin	* Bildung retentiven intertubulären
- NPG= N-phenyl-glycin	Dentins
*Chelatoren	* Darstellung polarer oder ionischer
- EDTA= Ethylendiamintetraacetat	Strukturen (H ⁺ -Atome) in der
	organischen Matrix
	* Darstellung von Carboxylgruppen
	bzw. Ca ²⁺ - und PO ⁴⁻ - Ionen im
	Apatit

Tab.1: Übersicht über die Zusammensetzung der Konditionierungsmittel und deren Wirkung am Dentin (Lutz et al. 1993).

2.3.2 Selbstkonditionierende Primer

Selbstkonditionierende Dentinprimer sind niedrigvisköse, amphiphile Substanzen, die nach der Einwirkung in situ, ohne daß sich dabei eine Polymerisationsschicht bildet, eingetrocknet werden. Durch den Einsatz schwacher Säuren ist ihre Wirkung am Dentin ähnlich der Wirkung von Dentinkonditionierern, aber weniger agressiv:

Wirkstoffe selbstkonditionierender Dentinprimer	Effekte am Dentin
*Anorganische Säuren	*Umsetzung der Schmierschicht
*Organische Säuren (Di-Carbon-,	
Bernstein-, Glutar-, Maleinsäure)	*Partielle Öffnung der Dentintubuli
*Metallsalze (Al-, Ca-, Fe-)	
*Saure Monomere:	*Teildemineralisation des Dentins
- MES - Mono-wediaciyioyoxyediyi-	*Teilweise Freilegung des
MEP = Mono-Wethacryloxyethyl-phthalatMEM = Mono-Methacryloyloxyethyl-maleat	Kollagennetzes
- MEC = Mono-memacryioyioxyemyi- hexahvdrophtalat	*Bilding retentives intertubulares
- Polymethacryloligomaleinsäure	Dentins
*Phosphonierte Poly-, DI-,	
- DMEP ≈ Di-methacrylovloxyethyl-phosphat	*Konzentrationszunahme Me ²⁺ , NH ₂ ,
- MDP = 10-methacryloyloxy-decyl-	Methacrylat
dinydrogenphosphatPENTA=Dipentaerytritol-pentamethacryl-	*Steigerung der Hydrophobie
oyloxy-phosphat - Phenyl-P	
*Wasserlösliche Di-, Mono-	
methacrylate:	
HEWA # Hydroxypropyl-methacrylatHPMA = Hydroxypropyl-methacrylat	
- BPDM = Biphenyl-dimethacrylat	
 GM = Dihydroxypropyl-methacrylat EM = Trihydroxyburbl-methacrylat 	
- PEMA = 3-Hyrdoxy-2,2-di(hyrdoxymethyl)-	
propylmethacrylat - PEG-DMA = Polyethylen-glycol-	
dimethacrylat *Aminosäuren (Glycin, N-Phenyl-	
*Lösungsmittel (Wasser, Azeton,	
Alkohol)	

Tab.2: Übersicht über die Zusammensetzung selbstkonditionierender Dentinprimer und deren Wirkung am Dentin (Lutz et al. 1993).

2.3.3 Primer

Dentinprimer sind etwas visköser als selbstkonditionierende Dentinprimer. Sie werden nach Vorbehandlung des Dentins (mit einem Konditionierer) appliziert, bleiben in situ und werden nach der Einwirkung getrocknet. Ihre Amphiphilie sowie wasserkompatible Molekülketten sollen eine ausreichende Benetzung und Durchdringung des konditionierten Dentins gewährleisten. Die Dentinoberfläche wird mit hydrophoben Methacrylatgruppen angereichert und - ohne ausgesprochene Polymerschichtbildung - für einen Verbund mit einem hydrophoben Adhäsiv kompatibel gemacht.

2.3.4 Adhäsive

Dentinadhäsive sind niedrigvisköse amphiphile Mischungen aus Monomeren mit hydrophilen funktionellen Gruppen (Amino-, Carboxyl-, Hydroxyl- oder Formamidgruppen, Phosphorsäureester) oder Monomeren und Lösungsmitteln. Sie benötigen eine Einwirkzeit von mindestens 20 sec, um die mit Konditionierer und/oder Primer aktivierte Dentinoberfläche zu penetrieren. Heftiges Ausblasen des Adhäsives kann durch zu starke Ausdünnung oder Bildung einer polymerisationshemmenden Sauerstoffanreicherung auf der Oberfläche die Polymerisation gefährden. Die anschließende Lichthärtung führt zur Ausbildung einer Polymerschicht.

methacrylate: HEMA= hydroxyetiyl-methacrylat EM= Trihydroxybryl-methacrylat EM= Trihydroxybryl-methacrylate PEG-DMA= Polyethylen-glycol- dimethacrylat Armphiphile Di-, Monomethacrylate: NMENMF= N-methacryloyloxyethyl-N- methyl-formannid NMENMF= N-methacryloyloxyethyl-methacrylate NMENMF= N-methacryloyloxyethyl-methacrylate NMENMF= Polymenlitin-diethyl-methacrylat NMENM= Polymenthylmethacrylat NT-G-GMA= N-tolyglycin-glycidyl- methacrylate NMD= Polymethylmethacrylat NMD= Polymethylmethacrylat NMD= Polymethylmethacrylat NMD= Polymethylmethacrylat NMD= Polymethylmethacrylat Phosphonilerte Poly-, Di-, Mono- methacrylate DME= D-methacrylate: BPDM= Biphenyl-dimethacrylat Phonyl-Polyme DME= D-methacrylate: BPDM= Biphenyl-dimethacrylat DMS= Urethan-dimethacrylat Steigerung der Hydrophobie "Steigerung der Hydrophobie "Steigerung der Hydrophobie "Steigerung der Hydrophobie "Steigerung der Hydrophobie "Bildung einer Polymerschicht "Steigerung der Hydrophobie "Bildung einer Polymersc	Wirkstoffe der Primer und Dentinadhäsive	Effekte am Dentin
lat lat at at at at the cost of the cost o	*Wasserlösliche Di-, Mono-	*Modifikation der Oberflächenstruktur
rylat //at //at //at //at //at //at //at /	methacrylate: - HEMA= Hydroxyethyl-methacrylat	*Haftung durch Zottenbildung,
oxymethyl)- i-	- GM= Dihydroxypropyl-methacrylat	Verzahnung, Verklettung
il- inosalicyi- inosalicyi- inosalicyi- jethyl-N- jycidyl- jidyl- st at at thyl- amethacrylat trylphosphat cyl- rylphosphat cyl- injehosphat cyl- imethacryl- imethacryl- injehosphat cyl- injeho		*Entwicklung sekundär chemischer
hacrylate: hosalicyl- /ethyl-N- /ethyl-N- idyl- hethacrylat fthyl- at at rylphosphat cyl- amethacryl- amethacryl- imethacrylat ftyl- ar ar at at at at at rylphosphat cyl- amethacryl- amethacryl- ar ar at dyl- finethacrylat at Azeton,	- PEG-DMA= Polyethylen-glycol-	Kräfte (Benetzung, Penetration
hacrylate: inosalicyi- /ethyl-N- /ycidyl- idyl- at at thyl- nylphosphat cyl- rylphosphat cyl- amethacryl- amethacryl- idyl- imethacrylat if imethacrylat at a	dimemaciylar *Aldehyde (Glutaraldehyd;	Diffusion)
	Propionaldehyd)	*Pfropfpolymerisation
at yl-	- NMSA= N-methacryloyl-5-aminosalicyl-	*Bildung einer Polymerschicht
rat yl-	săure - NMENMF= N-methacryloyloxyethyl-N-	*Steigerung der Hydrophobie
methacrylat - NTG-GMA = N-tolylglycin-glycidyl- methacrylat - PMDM= Pyromellitin-diethyl-methacrylat - PMMM= Pyromellitin-diethyl-methacrylat - PMMM= Polymethylmethacrylat - PMMMA= Polymethylmethacrylat - PMMA= Polymethylmethacrylat - TBBO = telioxidiertes Tri-N-butylboran *Phosphonierte Poly-, Di-, Mono- methacrylate: - DMEP= Dl-methacryloyloxy-decyl- dlitydrogenphosphat - PENTA = Dipentaerytritol-pentamethacryl- oyloxy-phosphat - PENTA = Dipentaerytritol-pentamethacryl- oyloxy-phosphat - Phenyl-P *Bi-/Tetramethacrylate: - BPDM= Biphenyl-dimethacrylat - Bis-GMA= Bisphenol-A-diglycidyl- methacrylat - TEGDMA= Triethylenglycol-dimethacrylat - UTMA = Urethan-dimethacrylat - TEGDMA= Triethylenglycol-dimethacrylat - UTMA = Urethan-dimethacrylat	methyl-formamid - NPG-GMA= N-phenylglycin-glycidyl-	
methacrylat - PMDM= Pyromellith-diethyl-methacrylat - 4-META= 4-methacryloyloxyethyl- trimellital-anhydrid - PMMA= Polymethylmethacrylat - TBBO = teiloxidiertes Tri-N-butylboran *Phosphonierte Poly-, Di-, Mono- methacrylate: - DMEP= Dl-methacryloyloxyethylphosphat - MDP= 10-methacryloyloxy-decyl- dihydrogenphosphat - PENTA = Dipentaerytritol-pentamethacryl- oyloxy-phosphat - PENTA = Dipentaerytritol-pentamethacryl- oyloxy-phosphat - Phenyl-P *Bi-/Tetramethacrylate: - BPDM= Biphenyl-dimethacrylat - Bis-GMA= Bisphenol-A-diglycidyl- methacrylat - TEGDMA= Triethylenglycol-dimethacrylat - Urethan-dimethacrylat - Uroma =	methacrylat - NTG-GMA = N-tolylglycin-glycidyl-	
- 4-META= 4-methacryloyloxyethyl- trimelitat-anhydrid - PMMA= Polymethylmethacrylat - TBBO = telioxidiertes Tri-N-butylboran *Phosphonierte Poly-, Di-, Mono- methacrylate: - DMEP= DI-methacryloyloxyethylphosphat - MDP= 10-methacryloyloxy-decyl- dlihydrogenphosphat - PENTA = Dipentaerytritol-pentamethacryl- oyloxy-phosphat - Phenyl-P *Bi-/Tetramethacrylate: - BPDM= Biphenyl-dimethacrylat - Bis-GMA= Bishenol-A-diglycidyl- methacrylat - TEGDMA= Triethylenglycol-dimethacrylat - UTMA = Urethan-dimethacrylat - UTMA = Urethan-dimethacrylat - UTMA = Urethan-dimethacrylat - UTMA = Urethan-dimethacrylat - TEGDMA= Triethylenglycol-dimethacrylat - TEGDMA= Triethylenglycol-dimethacrylat - TEGDMA= Urethan-dimethacrylat - TEGDMA= Urethan-dimethacrylat - TEGDMA= Urethan-dimethacrylat - UTMA = Urethan-dimethacrylat - TEGDMA= Triethylenglycol-dimethacrylat - TEGDMA= Triethylenglycol-dimethacrylat - TEGDMA= Urethan-dimethacrylat - TEGDMA= Urethan-dimethacrylat - TEGDMA= Triethylenglycol-dimethacrylat - TEGDMA= Urethan-dimethacrylat		
- PMMA= Polymethylmethacrylat - TBBO = teiloxidiertes Tri-N-butylboran *Phosphonierte Poly-, Di-, Mono- methacrylate: - DMEP= Di-methacryloyloxy-decyl- dihydrogenphosphat - PENTA = Dipentaerylitol-pentamethacryl- oyloxy-phosphat - Phenyl-P *Bi-/Tetramethacrylate: - BPDM= Biphenyl-dimethacrylat - Bis-GMA= Bisphenol-A-diglycidyl- methacrylat - TEGDMA= Triethylenglycol-dimethacrylat - UDMA= Urethan-dimethacrylat - UTMA = Urethan-tetramethacrylat - UTMA = Urethan-tetramethacrylat - Lösungsmittel (Wasser, Azeton, Alkohol, Methylenchlorid, Tetrahydrofuran)	- 4-META= 4-methacryloyloxyethyl-	
*Phosphonierte Poly-, Di-, Mono- methacrylate: - DMEP= Di-methacryloyloxy-decyl- dihydrogenphosphat - PENTA = Dipentaerytritol-pentamethacryl- oyloxy-phosphat - Phenyl-P *Bi-/Tetramethacrylate: - BPDM= Biphenyl-dimethacrylat - Bis-GMA= Bisphenol-A-diglycidyl- methacrylat - TEGDMA= Triethylenglycol-dimethacrylat - UDMA= Urethan-dimethacrylat - UTMA = Urethan-tetramethacrylat - UTMA = Urethan-tetramethacrylat - UTMA = Urethan-tetramethacrylat - UTMA = Urethan-tetramethacrylat - TEGDMA= Triethylenglycol-dimethacrylat - UTMA = Urethan-tetramethacrylat - UTMA = Urethan-tetramethacrylat - TEGDMA= Triethylenglycol-dimethacrylat - UTMA = Urethan-tetramethacrylat - UTMA = Urethan-tetramethacrylat - TEGDMA- Urethan-tetramethacrylat	- PMMA= Polymethylmethacrylat	
methacrylate: - DMEP= DI-methacryloyloxy-decyl- dihydrogenphosphat - PENTA = Dipentaerytitol-pentamethacryl- oyloxy-phosphat - Phenyl-P *Bi-/Tetramethacrylate: - BPDM= Biphenyl-dimethacrylat - Bis-GMA= Biphenyl-dimethacrylat - Bis-GMA= Biphenol-A-diglycidyl- methacrylat - TEGDMA= Triethylenglycol-dimethacrylat - UDMA= Urethan-dimethacrylat - UTMA= Urethan-tetramethacrylat - UTMA= Urethan-tetramethacrylat - UTMA= Urethan-tetramethacrylat - Triethylenglycol-dimethacrylat - UTMA= Urethan-tetramethacrylat - UTMA= Urethan-tetramethacrylat - Triethylenglycol-dimethacrylat - Triethylenglycol-di	*Phosphonierte Poly-, Di-, Mono-	
- MIDP= 10-methacryloyloxy-decyl- dilhydrogenphosphat - PENTA = Dipentaerytritol-pentamethacryl- oyloxy-phosphat - Phenyl-P *Bi-/Tetramethacrylate: - PEDM= Biphenyl-dimethacrylat - Bis-GMA= Bisphenol-A-diglycidyl- methacrylat - TEGDMA= Triethylenglycol-dimethacrylat - UDMA= Urethan-dimethacrylat - UTMA = Urethan-tetramethacrylat - UTMA = Urethan-tetramethacrylat - UTMA = Urethan-tetramethacrylat - UTMA = Moreonal (Masser, Azeton, Alkohol, Methylenchlorid, Tetrahydrofuran)	methacrylate: - DMEP= Di-methacryloyloxyethylphosphat	
- PENTA = Dipentaerytritol-pentamethacryl- oyloxy-phosphat - Phenyl-P - Bip-Inerthacrylate: - BPDM= Biphenyl-dimethacrylat - Bis-GMA= Bisphenol-A-diglycidyl- methacrylat - TEGDMA= Triethylenglycol-dimethacrylat - UDMA= Urethan-dimethacrylat - UDMA= Urethan-tetramethacrylat - UTMA = Urethan-tetramethacrylat - UTMA = Urethan-tetramethacrylat - LÖsungsmittel (Wasser, Azeton, Alkohol, Methylenchlorid, Tetrahydrofuran)	 MDP= 10-methacryloyloxy-decyl- dihydrogenphosphat 	
*Bi-/Tétramethacrylate: - BPDM= Biphenyl-dimethacrylat - Bis-GMA= Bisphenol-A-diglycidyl- methacrylat - TEGDMA= Triethylenglycol-dimethacrylat - UDMA= Urethan-dimethacrylat - UDMA= Urethan-tetramethacrylat - UTMA = Urethan-tetramethacrylat - UTMA = Urethan-tetramethacrylat - UTMA = Morethan-tetramethacrylat *Lösungsmittel (Wasser, Azeton, Alkohol, Methylenchlorid, Tetrahydrofuran)	oyloxy-phosphat - Phenyl-P	
- Bis-GMA= Bisphenol-A-diglycidyl- methacrylat - TEGDMA= Triethylenglycol-dimethacrylat - UDMA= Urethan-dimethacrylat - UTMA = Urethan-tetramethacrylat - UTMA = Urethan-tetrame	*Bi-/Tetramethacrylate:	
memacrylat - TEGDMA= Triethylenglycol-dimethacrylat - UDMA= Urethan-dimethacrylat - UTMA = Urethan-tetramethacrylat - UTMA = Urethan-tetramethacrylat *Lösungsmittel (Wasser, Azeton, Alkohol, Methylenchlorid, Tetrahydrofuran)	- Bisphenyl-dimethactylat - Bisphenol-A-diglycidyl-	
- UTMA= Drethan-dirrentaciylat - UTMA= Urethan-tetramethacrylat *Lösungsmittel (Wasser, Azeton, Alkohol, Methylenchlorid, Tetrahydrofuran)	methacrylat - TEGDMA= Triethylenglycol-dimethacrylat	
*Lösungsmittel (Wasser, Azeton, Alkohol, Methylenchlorid, Tetrahydrofuran)	- UTMA = Urethan-tetramethacrylat	
Tetrahydrofuran)	Losungsmittel (Wasser, Azeton, Alkohol, Methylenchlorid,	
	Tetrahydrofuran)	

Tab.3: Übersicht über die Zusammensetzung der Primer und Dentinadhäsive und deren Wirkung am Dentin (Lutz et al. 1993).

Da als Dentinadhäsiv für diese klinische Studie Syntac®, Fa. Vivadent (ein Vertreter der dritten Generation der Dentinadhäsive) ausgewählt wurde, wird hier näher darauf eingegangen. Es handelt sich hierbei um ein Adhäsivsystem, bei dem das Schmelzadhäsiv universell auf Schmelz und Dentin eingesetzt wird, daher ist auf dem Dentin ein Primer unbedingt erforderlich. Die Inhaltsstoffe des Dreikomponentensystems laut Herstellerinformation sind folgender Tabelle zu entnehmen.

Primer	Adhäsiv	Heliobond
Tetraethylenglycol-	Polyethylenglycol-	Bis-GMA 0,6g
dimethacrylat 0,25g	dimethacrylat 0,35g	3,6-Dioxaoctamethylen-
Maleinsäure in wässriger	Glutaraldehyd 50% in	dimethacrylat 0,4g
Azetonlösung 0,04g	wässriger Lösung 0,10g	

Tab.4: Vivadent Produktinformation zu den Inhaltsstoffen des Adhäsivsystems Syntac® − bezogen auf 1,0 g Substanzmenge.

Der Syntac® Dentin Primer reagiert mit der Schmierschicht des Dentins und verändert diese, ohne die Dentintubuli zu öffnen. Er vermittelt eine ausgezeichnete Benetzung der Dentin/Schmelz-Oberfläche, und bietet damit eine Grundbedingung für gute Haftung. Gleichzeitig penetriert er in die von der Säure veränderte Schmierschicht und in die Dentintubuli. Durch spätere Polymerisation des Bindemittels ergibt sich eine Vernetzung bzw. Härtung (Klimm und Graehn 1993).

Syntac® Adhäsiv wirkt als Vermittler zwischen dem hydrophilen, feuchten Dentin und dem hydrophoben Bonding. Es erzeugt über das Dialdehyd eine Fixierung am Dentin sowie eine bakteriostatische Wirkung.

Das Bondig im Syntac®-System stellt die Brücke zum Komposit dar und ist für eine gute und vollständige Polymerisation (Vernetzung) verantwortlich.

Watson erhält in einer mikroskopischen Untersuchung der Interaktion zwischen Syntac® Adhäsiv und Zahngewebe das Ergebnis, daß Syntac® Adhäsiv höchst effektiv ist, bei der spaltfreien Abdichtung zervikal liegender Füllungsränder (Watson 1992).

Lutz zeigt in einer Übersicht über die Randqualitäten, die bei gemischten, zum Teil unter simuliertem Liquordruck gelegten Klasse-V-Füllungen vor und nach Belastung

gefunden wurden, daß Syntac®/Tetric® im Schmelz vor Belastung 100% und nach Belastung 95% perfekte Randverhältnisse aufweist. Im Dentin zeigt Syntac®/Tetric® mit 95% perfektem Rand vor Belastung und 88% nach Belastung mit die besten Ergebnisse aller verglichenen Systeme (Lutz et al. 1993).

Cury erbrachte in einer klinischen Studie mit Syntac® eine Retentionsrate von 100% nach einem Jahr mit keinerlei Randverfärbungen oder Sekundärkaries bei gemischten Klasse-V-Füllungen (Cury et al. 1992).

Bei einer in vitro Untersuchung 10 verschiedener Dentinadhäsiv-Systeme in gemischten Klasse-V-Kavitäten erhielt Airoldi mit Syntac® die besten Ergebnisse bezüglich Randqualität im Dentin sowohl vor als auch nach thermischer Belastung (Airoldi et al. 1992).

2.4 Glasionomerzemente

1969 haben Wilson und Kent die Glasionomerzemente entwickelt, und 1972 wurde unter dem Namen ASPA (Alumino-Silikat-Poly-Acrylat) das erste Präparat vorgestellt. Aufgrund ihrer Anwendungsvielfalt (Füllungs- bzw. Unterfüllungsmaterial, Befestigungszement) nehmen sie eine Sonderstellung innerhalb der zahnärztlichen Materialien ein. Ihre Vorteile sind in chemischer Haftung am Dentin, Randständigkeit und Fluoridionenabgabe zu sehen (Forsten 1977, Kullmann 1986, Maldonaldo 1978). Ihre Problematik besteht in der zum Teil unbefriedigenden Ästhetik, der Anfälligkeit auf Verarbeitungsfehler (Marolf 1984) und der relativ niedrigen Verschleißfestigkeit (Krejci 1994). Sie bestehen aus zwei Komponenten, Pulver und Flüssigkeit, welche durch eine Säure-Basen-Reaktion aushärten.

2.4.1 Chemische Zusammensetzung

Glasionomerzement entsteht aus der Reaktion von ionendurchlässigem Kalzium-Aluminium-Silikatglas mit 50%iger Polyacrylsäure und einer 47,5%igen Lösung eines Kopolymers bestehend aus Akryl- und Itakonsäure und einem geringen Anteil Tartarsäure (Marolf 1984). Die Hauptbestandteile des Pulvers sind Siliziumdioxid (Si0₂) und Aluminiumoxid (Al₂0₃).

wurde in neueren Pulverformen verändert, um Ästhetik und Transparenz zu entwickelt wurde. Der Gehalt an CaF₂ wurde reduziert und der Anteil an Al₂0₃/Si0₂ nachfolgender Tabelle sind verschiedene Pulverzusammensetzungen dargestellt wird das pastenähnliche Glas rasch abgekühlt und zu Pulver gemahlen. In werden bei Temperaturen zwischen 1100 bis 1500°C verschmolzen (die Temperatur fluorid (NaF) und oder Aluminiumphosphat (AlPO₄) enthalten sein. Diese Bestandteile Zusätzlich können Kalziumfluorid (CaF₂), Natriumaluminiumfluorid (Na₃Al₃), Natrium-G200 repräsentiert die Pionierform des Glasionomerzements, wie er von A. D. Wilson variiert je nach Zusammensetzung der zu verschmelzenden Partikel), anschließend

Bestandteile	A	00	G200
SiO ₂	41.9	35.2	29,0
Al_2O_3	28,6	20,1	16,5
CaF ₂	15,7	20,1	34,3
Na ₃ AlF ₃	1,6	2,4	7,3
AIPO,	<u>კ</u>	12,0	9,9
NaF	9,3	3,6	3,0
Tab.5: Vergleich der Zusammensetzung aktueller Glasionomerzementtypen (A und B) mit G 200.	Glasionomerzem	enttypen (A und E) mit G 200.

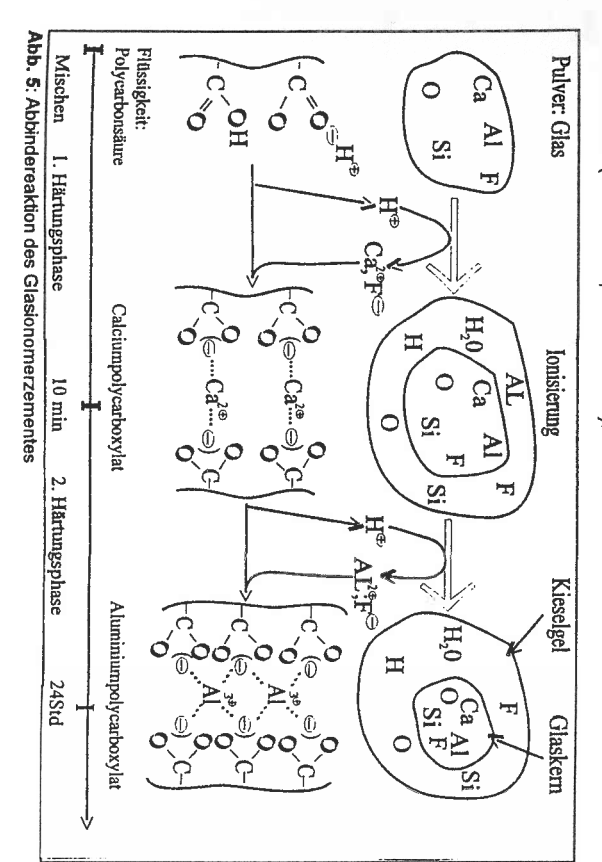
die wässrigen Lösungen mit 47,5% Kopolymer aus Acryl/Itaconsäure (2:1) und 5% Die heutige Zusammensetzung der flüssigen Komponente der Glasionomerzemente 1993, Smith 1994) niedrige Molekulargewichte ein Gelieren der Flüssigkeiten verhindern (Katsuyama Tartarsäure oder 47,5% Kopolymer aus Acryl/Maleinsäure und 5% Tartarsäure, da besteht aus einer Lösung hochmolekularer Elektrolyte. Am besten bewährt haben sich

2.4.2 Abbindevorgang

die Oberfläche des Pulvers ein. Es entsteht ein Silikatgel. Kationen (Ca2+, Al3+) oder Nach dem Vermischen der beiden Komponenten dringen Protonen der Flüssigkeit in

> Carboxylgruppen der Polyacrylsäuremoleküle, vernetzen diese und bilden so ein hartes Gel, in dem die Glaspartikel eingebettet sind. Die Abbindereaktion der beiden Fluoridkomplexe aus dem Glaspulver bilden Metallbrücken zwischen den Komponenten verläuft in zwei Schritten:

mit Feuchtigkeit, während des Abbindevorganges, beeinträchtigt die Polymerisation, wasserunlösliches Kalzium-Aluminium-Karboxylatgel. Der Abbindevorgang dauert durch stabile Verkettung mittels Aluminiumionen seine Endhärte. Es entsteht ein plastisch verformbar. Während der zweiten, langsameren Phase erreicht der Zement entsteht so ein Kalziumpolykarboxylatgel. Der Zement ist in diesem Stadium noch und reagieren zuerst mit der Polyacrylsäure. Durch Vernetzung über Kalziumbrücken Während der raschen initialen Phase werden durch die Säure aus dem Silikatglas reduziert die Druckfestigkeit und Haftkraft des Zementes und verringert die mindestens 24 Stunden (Smith 1990). Eine Kontamination des Glasionomerzementes Kalzium- und Aluminiumionen herausgelöst. Die Kalziumionen werden schneller gelös Transluzenz (Mitra 1994, Hickel 1989)



2.4.3 Haftmechanismen

sekundären intermolekularen Anziehungskräften von ionischem und polarem dem Hydroxylapatit an der Schmelzoberfläche. Verdrängung von Phosphationen durch die Carboxylatgruppen der Polymerkette aus benetzbare Oberfläche vorliegen. Im Schmelz entsteht Haftung über eine spielen. Für den einwandfreien chemischen Verbund muß eine saubere und gut Polyacry/säure und anorganischen Schmelz- bzw. Dentinbestandteilen eine Rolle Glasionomerzemente gehen mit Zahnhartsubstanzen eine chemische Verbindung ein endgültig geklärt (Erickson und Glasspoole 1994) kommt oder ob sie an die Hydroxylapatitkomponente des Dentins erfolgt, ist noch nicht Charakter. Ob die Haftung über Amino- und Carboxylgruppen des Kollagens zustande wobei ionische sowie kovalente Bindungen zwischen den Carboxylgruppen der Die Dentinhaftung basiert auf

2.5 Glasionomer-Komposit-Kombinationen

folgende Vorteile bei der konservierenden Füllungstherapie bieten Hybridglasionomerzemente entstehen, die aufgrund ihrer Materialeigenschaften Bestandteilen lichthärtender Kompositmaterialien ließ die neue Generation der Die Weiterentwicklung herkömmlicher Glasionomerzemente durch Kombination mit

- der Füllungstechnik; * Lichthärtung bedeutet "Aushärtung auf Kommando" und bringt somit Zeitgewinn in
- die Empfindlichkeit gegenüber Wasserzutritt und Austrocknung (Mount 1993). * Die Kombination der Glasionomeraushärtung mit der Lichtpolymerisation reduziert
- * Ausarbeiten direkt nach Applikation ist möglich;
- * Kariesreduktion durch Fluoridionenabgabe;
- * Verbesserte Ästhetik;
- * Verbesserte Haftung an Schmelz und Dentin

Eigenschaften verantwortlich Vergleich zu herkömmlichen Glasionomerzementen für verbesserte werkstoffliche Das Doppelnetzwerk kombiniert aus Glasionomer- und Kunststoffmatrix, ist ≅.

2.5.1 Lichthärtende Glasionomerzemente

gruppen werden den Polyacrylsäuremolekülen angehängt. Hydroxyethylmethacrylat), Bis-GMA und Fotoakzeleratoren. Zusätzliche Methacrylat der Säure zusätzliche Bestandteile, wie z.B. hydrophile Monomere (HEMA= Die Gruppe der lichthärtenden Glasionomerzemente enthält in der Flüssigkeit neben gruppen der Polyacrylsäure aus dem initialen Polymerisationsprozeß herauszuhalten zugesetzten Monomere überlagert. Da es mittlerweile möglich ist, die Carboxyl-Die Polyacrylsäure-Glas-Reaktion wird dabei durch die Polymerisation der Kopolymerisation des Methacrylats mit den angehängten Gruppen der Polyacrylsäure Materials durch kovalente und ionische Bindungen kommt es durch lichtgesteuerte an die Zahnhartsubstanz (Hellwig 1995) ermöglichen auch einige lichthärtende Glasionomerzemente eine chemische Bindung Zur Erhärtung

Inhaltsstoffe (Herstellerangaben) sind deshalb in nachfolgenden Tabellen aufgeführt Vertreter der lichthärtenden Glasionomerzemente in dieser Studie verwendet. Die Die Produkte Photac Fil® Aplicap (Fa. Espe) und Fuji II LC® (Fa. GC) wurden als

Photac Fil® Aplicap Pulver	Photac Fil® Aplicap Flüssigkeit
Natriumcalciumaluminiumfluorosilikat-	Glasionomerkompatible Mono- und
Glas	Oligomere
Copolymersäure	Campherchinon
(Acryl- und Maleinsäure)	H ₂ O
Aktivator	

Tab. 6: Espe Produktinformation

Fluoroaluminiumsilikat-Glas Polyacrylsäure HEMA (Hydroxy-Ethyl-Methacrylat) Initiatoren	Fuji II LC® Pulver	Fuji II LC® Flüssigkeit
HEMA (Hydroxy-Ethyl-Methacrylat) Initiatoren	Fluoroaluminiumsilikat-Glas	Polyacrylsäure
Initiatoren		HEMA (Hydroxy-Ethyl-Methacrylat)
		Initiatoren

2.5.2 Kompomere

Kompomere, lichthärtende Einkomponentenmaterialien, enthalten die bewährten Polymere der Komposite und die bezüglich Kariesschutz attraktive Chemie der Glasionomerzemente. Sie stellen eine neue Materialklasse dar, die sehr nahe an den Kompositen liegt. Konkret bezeichnet der Begriff einen Werkstoff, der aus einem anorganischen Teil in der Form eines ätzbaren, röntgenopaken, fluoridhaltigen Glasfüllers und aus einer organischen Matrix besteht. Die Matrix ist wasserfrei und verfügt über carboxylgruppenhaltige, hydrophile Monomere. Der Glasfüllstoff ist silanisiert (Krejci 1995). Kompomere sind relativ einfach zu verarbeiten, und weisen eine leichte Expansion auf. Sie wirken dank Fluoridfreisetzung und Regenerierbarkeit des Fluoridgehaltes kariostatisch (Krejci 1993).

Die primäre Aushärtung der Kompomere erfolgt im Sinne einer radikalischen Reaktion und wird über Photoinitiatoren gestartet. Die Ionenaustauschreaktion zwischen dem Glasfüllstoff und den Carboxylgruppen beginnt erst nach diffusionsbedingter Wasseraufnahme des primär radikalisch polymerisierten Materials und kann sich über Wochen bis Monate erstrecken. Die Ionenaustauschreaktion ist trotz silanisiertem Füllstoff möglich, da die Silanisierung nie perfekt ist und damit gewisse Füllstoffoberflächen immer für die Säure-Base-Reaktion zur Verfügung stehen. Das quantitative Verhältnis radikalische Reaktion zu Ionenaustauschreaktion liegt in der Größenordnung 8: 1, d. h. die Aushärtung wird vor allem durch den Kompositanteil der Kompomere bewältigt (Krejci 1995).

Lichthärtende Einkomponentenmaterialien sind nicht mit allen charakteristischen Substanzen der Glasionomerzemente ausgestattet. Die Silikatpartikel sind hier in eine Kunststoffmatrix eingebettet. Ein direkter chemischer Verbund zwischen Zement und Dentin kommt nicht zustande. Deshalb wird, obwohl die Kompomermatrix funktionelle Gruppen besitzt, für eine Haftung am Dentin ein Adhäsivsystem benötigt. Dies liegt hauptsächlich an der relativ hohen Viskosität der Kompomere, die einer perfekten Benetzung der Zahnhartsubstanzoberflächen im Wege steht. Als Haftvermittler werden niedrigvisköse Einkomponentenadhäsive eingesetzt. Diese entfalten auf Grund von sauren Monomeren oder organischen Säuren eine Ätzwirkung, sind daher

ohne vorhergehende Phosphorsäureapplikation, jedoch in zwei Schichten aufzutragen. Die Funktion der ersten Schicht besteht darin, die Oberfläche der Zahnhartsubstanzen zu konditionieren und möglichst perfekt zu benetzen, bzw. die auf Grund der Ätzung entstandenen Mikroretentionen zu penetrieren. Die zweite Applikation dient hauptsächlich der Verdickung der Adhäsivschicht. Einerseits wird dadurch eine gute Ankoppelung an das Kompomer gewährleistet, andererseits verleiht sie dem Adhäsivinterface eine gewisse Elastizität, welche zur Streßkompensation während der Polymerisationsschrumpfung des Kompomers beiträgt (Krejci 1995).

Weiterhin ermöglicht der wasserabstoßende Effekt des Lösungsmittels Azeton (Van Meerbeck et al. 1994a) im Primer verbesserte Haftung auch am feuchten Dentin. Das Produkt Dyract® (Fa. De Trey) kam als Vertreter der Kompomere in dieser klinischen Studie zum Einsatz. Die Inhaltsstoffe (Herstellerangaben) sind nachfolgender Tabelle zu entnehmen:

Dyract® Primer/Adhäsiv	Dyract® Paste
Penta = Dipentaerytritol-	UDMA = Urethan-dimethacrylat
pentamethacryloyloxy-phosphat	TCB = Tetracarboxylbutan
TGDMA = Triethylenglycoldimethacrylat Strontiumfluorosilikatglas	Strontiumfluorosilikatglas
Elastomere	
Initiatoren	
Stabilisatoren	
Azeton	

Tab.8: De Trey Produktinformation

Da Dyract® zum Einsatz in der Füllungstherapie erst seit 2 Jahren zur Verfügung steht, gibt es bisher kaum Studien und somit Literatur, die über dessen klinische Eignung berichten. Das positive Abschneiden von Dyract® in ersten In-vitro-Studien zur Versorgung von zervikalen Defekten (Hildebrand 1995, Kunzelmann 1994), läßt jedoch auf gute klinische Ergebnisse hoffen.

2.6 Zielsetzung der klinischen Studie

Zervikalen Defekten jeglicher Genese (abrasiv, erosiv-abrasiv, kariös-abrasiv, okklusaltraumatisch-abrasiv), Lokalisation (Schmelz, Dentin, Wurzelzement) und Konfiguration (linien-, sichel-, dreieck-, ellipsenförmig) ist eine wachsende epidemiologische Bedeutung in der Zahnheilkunde zuzusprechen (Levitch et al. 1994). Die rasche Entwicklung einer Vielzahl neuer Füllungswerkstoffe und neuer Dentinhaftvermittler zur Versorgung von Zahnhalsdefekten mit zum Teil erheblichen konzeptionellen Unterschieden erschwert die Auswahl für deren klinische Anwendung.

Eine Kombination der Vorteile von Glasionomerzementen, wie chemische Haftung, Randständigkeit und Fluoridionenabgabe (Forsten 1977, Kullmann 1986, Maldonaldo 1978) mit den Vorteilen der Lichthärtung bei kunststoffmodifizierten Glasionomerzementen, auch Hybridglasionomerzemente genannt, oder Kompomeren (Mount 1993) soll einen Fortschritt im Hinblick auf eine hochwertige Füllungstherapie darstellen. Die Weiterentwicklung der Dentinadhäsive hat auch die Anwendung von Kompositen in diesem Indikationsbereich verbessert (Haller 1994, Pashley 1994).

Trotz aussagekräftiger In-vitro-Simulationen können nur anhand kontrollierter klinischer Studien konkrete Empfehlungen erarbeitet werden.

des Schmelzes nicht ganz auf eine Präparation verzichtet Lediglich beim Einsatz des reinen Komposits wird durch erforderliche Anschrägung Funktion und Ästhetik ohne defektvergrößernde, unterschnittige Präparation erfolgt Behandlungsmethode Anwendung, bei der die Restauration betroffener Zähne in findet in dieser Studie eine zahnfarbene, adhäsive, rein verbundorientierte empfohlener bzw. auf Grund der Füllungsmaterialien erforderlicher Vorgehensweisen die zumindest mittelfristig schadensgerechte, substanzschonende und minimal invasive Vorgehensweise sein Ziel <u>bei</u> bestehender restaurativer zu positiven Ergebnissen führt. Entgegen bisher Behandlungsnotwendigkeit sollte eine

Unterstützt und verifiziert werden sollen die klinischen Ergebnisse durch eine möglichst umfangreiche und genaue Dokumentation der Arbeiten sowohl photographisch als auch mit Hilfe von Abdrücken und Replika. Von jeder gelegten Füllung liegt am Ende der Studie je eine Serie von Photos (Ausgangssituation, Füllung gelegt, Füllung nach 1/2 Jahr, Füllung nach 1 Jahr), sowie von Replika (Füllung gelegt, Füllung nach 1/2 Jahr, Füllung nach 1 Jahr) vor. Die Herstellung der Replika soll einer späteren Modellanalyse am Rasterelektronenmikroskop dienen.

Material und Methode

3.1 Verwendete Materialien

In der vorliegenden klinischen Studie wurden als Vertreter der lichthärtenden Glasionomerzemente Photac Fil® Aplicap (Fa. Espe, Seefeld) und Fuji II LC® (Fa GC, Tokio) mit dem Kompomer Dyract® (Fa. De Trey, Konstanz) sowie als Kontrollgruppe das Komposit Tetric® in Kombination mit dem Dentinadhäsiv Syntac® (Fa. Vivadent, Schaan) bei der Versorgung von Klasse-V-Kavitäten verglichen und aus den Ergebnissen der Nachuntersuchungen konkrete Empfehlungen für das praktische Vorgehen und den Einsatz dieser Füllungsmaterialien im Zahnhalsbereich hergeleitet.

3.2 Patientengut

Insgesamt wurden 197 Zahnhalskavitäten bei 37 Patienten im Alter von 26 bis 67 Jahren versorgt. Alle Patienten wurden vor Aufnahme in die Studie durch die Behandlerin sowohl mündlich als auch schriftlich über Ablauf und Ziel aufgeklärt. Die Patienten waren sowohl mit dem Einsatz verschiedener Materialien einverstanden, als auch bereit an den Nachuntersuchungen nach 6 Monaten, nach einem Jahr und länger (geplant sind 4 Jahre) teilzunehmen.

Genaue Zahlen sind nachfolgender Übersichtstabelle zu entnehmen:

	Photac Fil®	Fuji # LC®	Dyract@	Syntac® /Tetric®	Summe
Patienten	15	27	49	25	116
Patienten	16	24	30	<u> </u>	8.
Summe	31	51	79	36	197

Tab.9: Anzahl angefertigter Restaurationen pro Füllungsmaterial

In die Studie aufgenommen wurden Patienten mit zervikalen Defekten im Front- und Prämolarenbereich. Zirkuläre Schmelzbegrenzung war nicht erforderlich, da im Rahmen der Studie auch das Dentin-Bonding Anwendung finden sollte.

Ebenso wurden kariöse Läsionen und bereits vorhandene Klasse V-Füllungen mit Sekundärkaries behandelt. Ausgeschlossen wurden devitale Zähne und Zähne, deren zervikale Defekte, aufgrund ihrer Ausdehnung, andere Füllungen am gleichen Zahn kontaktierten.

3.3 Vorbereitungssitzung

Die zur Durchführung der vorbereitenden Behandlungsmaßnahmen erforderlichen Instrumente und Materialien sind einer eigens dafür erstellten Materialliste zu entnehmen (siehe Anhang). In der Vorbereitungssitzung wurde eine klinische Befunderhebung durchgeführt und speziell für die Studie entworfene Befundbögen nach folgenden Vorgaben ausgefüllt:

3.3.1 Allgemeiner Befundbogen (siehe Anhang)

Es erfolgte eine zahnärztliche Untersuchung der gesamten Gebißsituation. Dokumentiert wurden Karies (rot), intakte Füllungen (blau), defekte Füllungen/Sekundärkaries (blau mit rotem Rand), Zahnersatz, Sensibilitätstest (CO₂-Schnee), Perkussionstest und Lockerungsgrad (0-III nach DGP-Kriterien) aller vorhandenen Zähne sowie Taschenmessung mesial und distal. Es wurden die Abkürzungen A für Amalgam, Ku für Kunststoff, Ke für Keramik, I für Inlays, O für

Onlays, K für Krone, PV für einen provisorischen Verschluß sowie S für Sonstiges verwendet.

Abschließend wurde eine SBI- und API-Messung nach D.E. Lange durchgeführt und dokumentiert (Lange 1983).

Für den Frontzahn und Prämolarenbereich wurde anschließend ein im Hinblick auf die genaue Dokumentation der Ausgangssituation entworfener Befundbogen mit Hilfe von Zahlen- bzw. Buchstabencodes ausgefüllt.

3.3.2 Spezieller Befundbogen (siehe Anhang)

Der aktuelle Zustand der Zahnhalsregion wurde mit Hilfe von Zahlencodes dokumentiert. Okklusale Kontakte wurden mit Shimstockfolie überprüft, Abrasionen und Schliffacetten, entstanden durch Laterotrusions- bzw. Mediotrusionsbewegungen, wurden mit Okklusionsfolie markiert und durch Buchstabencodes dokumentiert. Anamnestische Angaben der Patienten über Schmerzsensationen im Zahnhalsbereich sowie das Ergebnis einer Dentinhypersensibilitätsprüfung (Gillam und Newman 1993) durch Kältereiz (1 sec langer Luftstrom) und taktilen Reiz (Ritzen der Dentinoberflächen mit spitzer Sonde) wurden auf einer Tenalop-Skala (1-10) festgehalten. Dies entspricht den Forderungen des AD HOC ADVISORY COMMITEE ON DENTINAL HYPERSENSITIVITY (1986) nach reproduzierbaren Sensibilitätstests. Im Rahmen der speziellen Befunderhebung erfolgte auch eine Defektklassifikation, bei der in folgende 3 Kategorien unterschieden wurde:

Defektkiassifikation	Anzahl behandelter Zähne
Erosion/Keilförmiger Defekt	69
Insuffiziente Füllung	71
Kariöser Zahnhals	57

unserer Defektklassifikation. Die folgenden Abbildungen zeigen klinische Beispiele zu den drei Kategorien



Abb. 6: Klinisches Bild: Erosion, keilförmiger Defekt an den Zähnen 22, 23, 24

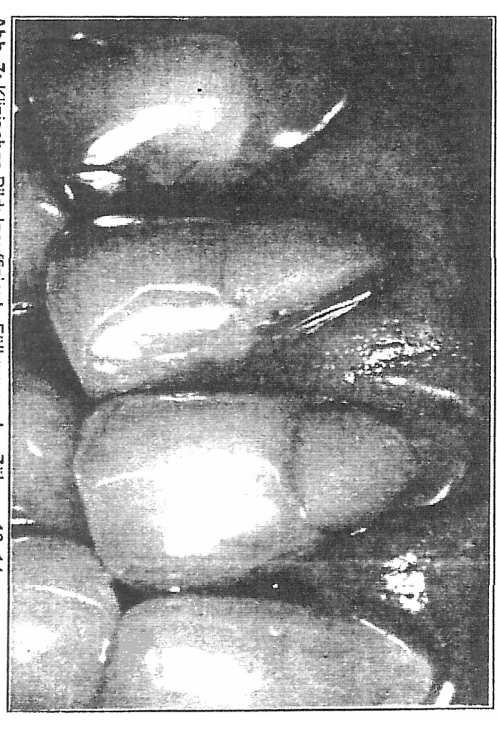


Abb. 7: Klinisches Bild: Insuffiziente Füllung an den Zähnen 13, 14



Abb. 8: Klinisches Bild: kariöse Zahnhälse an den Zähnen 32, 33, 34

geschah dies quadrantenweise. Diese Vorgehensweise wurde gewählt, um dadurch verwendet werden sollten, stand das Ziel im Vordergrund, bei jedem Patienten alle Bei der Festlegung, welche Materialien zur Versorgung der vorliegenden Defekte einwirken zu lassen. Gewohnheiten (Rauchen, Kaffee-/Teekonsum) auf alle vier Materialien gleichermaßen patientenspezifische, exogene Faktoren wie Speichelkonsistenz, Ernährungsweise, vier zu vergleichenden Füllungsmaterialien zum Einsatz zu bringen. Soweit möglich

Fullungsmaterial	Photac	Fuji II	Dyract®	Syntac®/	Gesamt
Defektklassifikation	FIM	LC®		Tetric®	
Kariöser Zahnhals	5	13	27	12	57
Erosion/ Keilförmiger Defekt	-1	18	28	12	69
Insuffiziente Füllung	15	20	24	12	71
Gesamt	31	51	79	36	197

lab.: 11 Anzahl angefertigter Restaurationen pro Füllungsmaterial und Verteilung auf die drei

Kategorien der Defektklassifikation

Im Anschluß erfolgte eine Mundhygieneaufklärung sowie eine Unterweisung der Teilnehmer in der, für Patienten mit keilförmigen Defekten geeigneten Putztechnik, einer kraftreduzierten Rollmethode (Klimm und Graehn 1993). Eine abschließende gründliche Zahnreinigung und Politur sollte eine evtl. vorhandene Blutungsneigung der Gingiva bis zur nächsten Sitzung reduzieren.

3.4 Behandlungssitzung

Die zur Durchführung der Behandlung erforderlichen Materialien und Instrumente sind der eigens dafür entworfenen Materialliste zu entnehmen (siehe Anhang).

3.4.1 Vorbereitung des Arbeitsfeldes

zu verarbeitenden Füllungsmaterialien unter möglichst gleichen Bedingunger ist bei Klasse-V-Kavitäten schwierig und u.U. nicht durchführbar. Da jedoch alle vier Schmelzoberhäutchen und Plaque sollten entfernt werden, um eine saubere mant, P 412). Approximalräume wurden mit Zahnseide gereinigt, anschließend mit Luft Zircate® Prophy Paste (Zirkonium-Silikat, fluoridfrei) und einem Gummikelch (Blend-a-Vor Behandlungsbeginn erfolgte eine gründliche Reinigung des Arbeitsfeldes mit freigelegt (Buonocore 1975). Das Einbringen der Fäden (Surgident Gingival® Retraktionsfäden zugänglich gemacht oder zusätzlich mit Hilfe des Elektrotoms appliziert werden sollten, wurde generell nur unter relativer Trockenlegung gearbeitet 1976, Nolden 1984). Die absolute Trockenlegung durch das Anbringen von Kofferdam "Substratoberfläche" im Sinne der adhäsiven Restauration zu erreichen (Lutz et al gelegenen Kavitätenränder durch Blut oder Sulcusfluid verhindern. Zur Eindämmung Retraktionsfaden Nr. 2) in den Sulcus sollte die Befeuchtung der gingivawärts Je des Speichelflusses im Unterkiefer hat sich das Anbringen von dry-tips® (Mölnlycke) nach Lage der Defekte wurden die Kavitätenränder durch das Legen von Wasserspray gründlich gespült. Exogene Verfärbungen, sekundäres

3.4.2 Farbauswahl

Die Farbauswahl erfolgte vor Trockenlegung des Arbeitssfeldes und bei ausgeschalteter Operationslampe.

Photac Fil® Aplicap

Die Farbauswahl erfolgt mit einer dem Kapselsystem Photac Fil® Aplicap beiliegenden Farbskala. Es stehen folgende 8 Farben zur Verfügung:

C4/DG	B2/LY he	A3/U	A1/XL
C4/DG dunkelgrau	hellgelb	A3/U universal	extra-helf
OBO	B3/Y	A3,5/YB	A2/L
dunkelbraun opa	gelb	A3,5∕YB gelb-braun	hell

uji il LC®

Die Farbauswahl erfolgt mit Hilfe der Vita***Farbskala.

Es stehen folgende 8 Farben zur Verfügung:

A2, A3, A4, B2, B3, B4, C2, D2

Dyract®

Die Farbauswahl erfolgt mit Hilfe einer dem System beiliegenden Farbskala.

A2, A3, A4, B1, B3, C2, C3, C4

Es stehen folgende 8 Farben zur Verfügung

Tetric®

Die Farbauswahl erfolgt mit Hilfe der Tetric® Biochromatic Skala.

Es stehen folgende 8 Farben zur Verfügung:

_	universal	30/YB	gelbbraun
20/W	weiß	35/YG	gelbgrau
22/LY	hellgelb	D	Dentin
24/B	braun	-	transparent

Tetric® - Farben haben eine abgestufte Transparenz: 35% Dentin, 45% die Farben 20/W, 22/LY, 42/B, 30/YB, 35/YG und 55% transparent. Durch entsprechende Schichtung läßt sich eine ästhetisch befriedigende, zahnähnliche Farbwirkung erzielen.

3.4.3 Präparation

einem Diamanten und rotem Winkelstück entfernt, anschließend wurde mit einem Präparation verzichtet. Bei erneuerungsbedürftigen Zahnhalsfüllungen, sei es aus Bei Erosionen bzw. kariesfreien keilförmigen Defekten wurde vollständig auf eine anschließend mit einer Kompositfüllung versorgt werden sollten, wurden und die Ränder des dadurch entstandenen Defektes geglättet. Zahnhalsdefekte die Rosenbohrer exkaviert und die Kavitätenränder wurden mit einem Feinkorndiamanter ästhetischen Gründen oder auf Grund von Sekundärkaries, wurde die alte Füllung mit unterschnittige Präparation verzichtet Spitze (blend-a-mant, D249-012f) angeschrägt. Es wurde grundsätzlich auf eine Schmelzbereich mit einem zylindrischen Feinkorndiamanten mit flammenförmiger (blend-a-mant, D234-012f) geglättet. Kariöse Läsionen am Zahnhals wurden exkaviert

3.4.4 Unterfüllung

Pulpenüberkappung und Dentinisolierung unter zahnärztlichen Füllungsmaterialien abbindendes, selbsthärtendes Material Hierfür wurde das calciumhydroxidhaltige Präparat Dycal® verwendet, ein fes vor chemischen und thermischen Einflüssen (Buonocore 1975, Stanley et al.1975) Distanz zur Pulpa von < 1,5 mm angenommen werden mußte, zum Schutz der Pulpa Die Applikation einer Unterfüllung erfolgte bei ausgeprägten Defekten, sobald eine Kunststoff- und Kompositfüllungen (Herstellerhinweis). Zementen und anderen Werkstoffen. Dycal® beeinflußt nicht die Polymerisation von ZUſ direkten und indirekten

Zusammensetzung

1g Basispaste enthält: 0,42g 1,3-Butylenglycoldisalicylat

1g Katalysatorpaste enthält: 0,51g Calciumhydroxid

Bei 197 gelegten Füllungen war in 58 Fällen eine Dentinabdeckung mit Dycal® erforderlich.

3.4.5 Auswahl der Matrize

Form des Zahnes (siehe Abb.: 10) wurden Zahnhalsmatrizen (Hawe Transparent Nr. Zur zervikalen Abdichtung und als Rekonstruktionshilfe im Bezug auf die anatomische

> Einziehungen am Zahnhals, etc.), wurden sie nicht verwendet. Es gait auch zu der eine gleichmäßigere Adaptation des Füllungsmaterials an Kavitätenwand und Applikation und freie Modellation durchgeführt werden. nicht gesichert war. In Fällen größerer Kavitätentiefe mußte eine schichtenweise überschritten wurde, da sonst die optimale Tiefenaushärtung der Füllungsmaterialien berücksichtigen, daß je nach Material eine Schichtdicke von max. 2 mm nicht Waren die Matrizen nur unzureichend zu adaptieren (individuelle Ausprägung boden ermöglicht und eventuell vorhandene Lufteinschlüsse beseitigt (Nolden 1985) Verfügung. Ein weiterer Vorteil der Matrizentechnik ist der leichte Kompressionsdruck 850/Set) verwendet (Mount 1993); diese stehen in 5 verschiedenen Größen zur

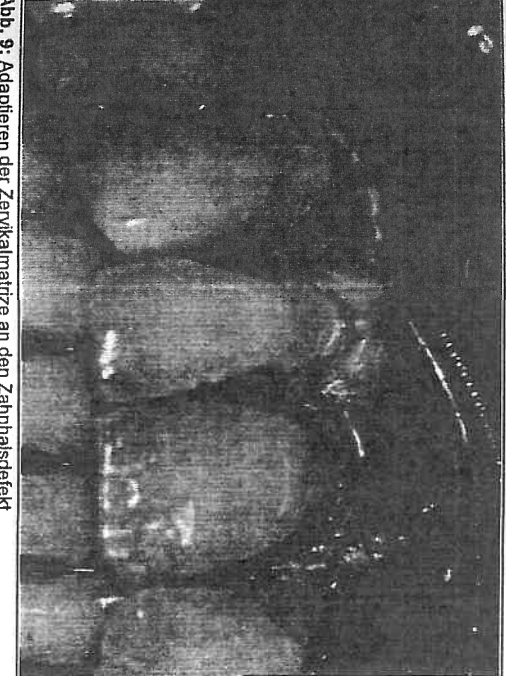


Abb. 9: Adaptieren der Zervikalmatrize an den Zahnhalsdefekt

3.4.6 Legen der Füllung, Materialverarbeitung

Füllungsmaterialien wird der Arbeitsablauf kurz in Form von Flow-Charts dargestellt Aufgrund materialspezifischer und verarbeitungstechnischer Unterschiede der vier

Photac Fil® Aplicap

Dentinkonditionierung mit Ketac Conditioner®, 10 sec Einwirkzeit, 30 sec spülen, trocknen

Photac Fill Aplicap® Kapsel aktivieren (2 sec) 15 sec Mischzeit (Hochfrequenzmischer)

Applikation, 3 min Verarbeitungszeit bei 23 °C Raumtemperatur und normale Tageslicht.

Belichtungszeit 20 sec bei einer Schichtdicke bis 2 mm mit handelsüblicher Polymerisationslampe

Fuji II LC®

Dentinkonditionierung mit GC Dentin Conditioner®, 20 sec Einwikzeit, 30 sec spülen, trocknen

Fuji II LC® Kapsel aktivieren (2 sec) 10 sec Mischzeit (Hochfrequenzmischer)

Applikation, 3 min Verarbeitungszeit bei 23 °C Raumtemperatur und normale Tageslicht

Belichtungszeit 20 sec bei einer Schichtdicke bis 2 mm mit handeisüblicher Polymerisationslampe

Dyract®

Primer Applikation Phase I auf alle Kavitätenflächen auftragen, 30 sec Einwirkzeit mit Druckluft ausdünnen, 10 sec Lichthärtung

Primer Applikation Phase II erneutes Auftragen, sofort mit Druckluft ausdünnen, 10 sec Lichthärtung

Einbringen von Dyract® in Kavität
Lichthärtung 40 sec bei Schichtdicke bis 3 mm
mit handelsüblicher Polymerisationslampe

Syntac®/Tetric®

Schmelzätzung 30 - 60 sec, gründlich spülen und trocknen

Syntac® Primer auftragen, 15 sec einwirken lassen, trocknen, nicht spülen!

Syntac® Adhesive auftragen, trocknen, nicht spülen!

Heliobond® applizieren, mit Druckluft ausdünnen, 20 sec polymerisieren

Einbringen von Tetric® in Kavität

Lichthärtung 40 sec bei Schichtdicke bis 2 mm mit handelsüblicher Polymerisationslampe

Beim Applizieren der vier Füllungsmaterialien in die Kavität wurde die OP-Leuchte ausgeschaltet, um ein vorzeitiges Aushärten zu verhindern (Nolden 1985). Die Polymerisation wurde mit dem Halogenlichtgerät Hellolux GT durchgeführt. Um den Verlust an Lichtintensität möglichst gering zu halten, wurde ein Abstand des Lichtleiters zur Zahnoberfläche von max. 1-2 mm eingehalten. Die Folgen unvollständiger Polymerisation reichen von möglicher Pulpaschädigung über vorzeitige Korrosion der Füllungsmaterialien bis hin zu frühzeitigem Füllungsverlust (Nolden 1985).

3.4.7 Ausarbeitung und Politur

Aufgrund verbesserter Materialeigenschaften lichthärtender Glasionomerzemente und Kompomere konnte mit dem Ausarbeiten der Füllungen sofort nach dem Legen begonnen werden. Grobe Überschüsse wurden mit flammenförmigen Feinkorndiamanten (blend-a-mant D249-012f) bzw. Kompositfinierern (blend-a-mant D202-010sf) entfernt (Firla 1992). Feinausarbeitung erfolgte mit Soflex Pop-on® Scheiben Grob- (dunkelblau), Mittel- (blau), Feinkorn (hellblau) und Enhance® Finierem (Scheibe, Kelch oder Spitze). Damit wurden letzte Überschüsse entfernt und die Oberflächen geglättet. Die abschließende Politur, bei Dyract® und Tetric® , wurde mit Prisma Gloss® Polierpaste und einem Schwämmchen durchgeführt. Bei der Ausarbeitung von Photac Fil® Aplicap und Fuji II LC® wurde besonders darauf geachtet, die frisch gelegten Füllungen vor Austrocknung durch zu langes Trockenblasen zu schützen, um Sprünge und Risse im Material zu vermeiden (Mount 1993).



Abb. 10: Füllungen mit Photac Fil®, die durch zu starkes Trockenblasen Craqueleesprünge in der Oberfläche aufweisen.

3.4.8 Photodokumentation und Abdrucknahme

Zu Beginn der Behandlungssitzungen wurde zunächst die Ausgangssituation photographisch festgehalten. Je nach Lokalisation wurde direkte oder, mit Hilfe eines Spiegels, indirekte Einstellung gewählt. Alle Bilder wurden mit 1,5-facher Vergrößerung angefertigt (Film: Agfachrome RS 50 Plus). Die Dias wurden gerahmt, beschriftet und dem speziellen Befundbogen beigeheftet, um Aussagen über Lage und Begrenzung (Schmelz-Dentin-Wurzelzement) der Zahnhalsdefekte zu dokumentieren. In gleicher Weise wurden auch alle Füllungen nach dem Ausarbeiten photographisch dokumentiert. Speziell zum Zwecke der Abformung wurden Abdrucklöffel aus dem Kunststoff Palatray® LC angefertigt. Sie ermöglichten ein Abziehen der Abformung in horizontaler Richtung, um so einer Verformung der Dokumentationsabdrücke entgegenzuwirken

Bei subgingivaler Lage der Füllungsränder wurde ein Retraktionsfaden Nr. 1 gelegt, um eine bessere Randabformung zu erzielen. Die quanitative Erfassung zervikaler Randspalten dürfte dennoch wegen der schwierigen Abformbarkeit der meist subgingival gelegenen Füllungsränder erhebliche Probleme aufwerfen (Schmid und

Lutz 1986). Die Abformungen wurden mit dem Silikonabformmaterial Unosil® durchgeführt, mit Epoxidharz Epoxy-Die® ausgegossen, beschriftet und archiviert.

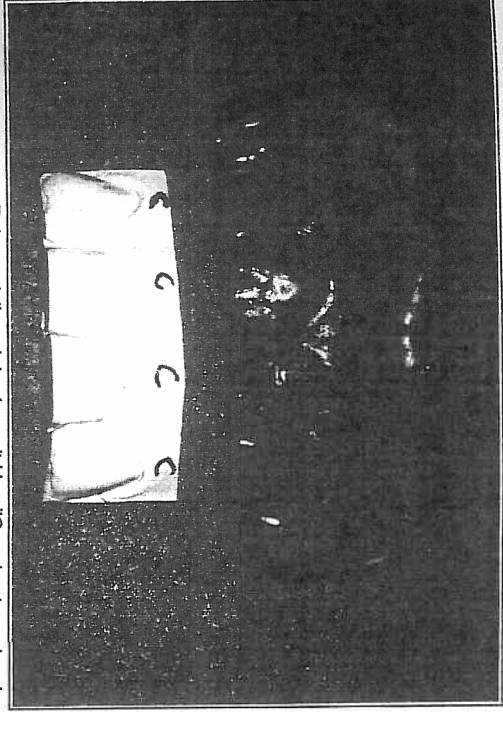


Abb. 11: Beispiel eines Dokumentationsabdruckes mit Unosil® und entsprechendes Epoxidharzmodell aus Epoxy-Die®

3.4.9 Dokumentationsbogen (siehe Anhang)

Die Präparationsform, das Legen einer Unterfüllung sowie das Füllungsmaterial und dessen Farbe wurden abschließend in einem speziell für diese Studie entworfenen Dokumentationsbogen mit Hilfe von Zahlen- und Buchstabencodes eingetragen.

3.5. Nachuntersuchung

3.5.1 Gegenstand der Nachuntersuchung

Gegenstand der Nachuntersuchung sind Zahnhalsfüllungen, die ab August 1993 in der Poliklinik für Zahnerhaltung und Parodontologie der Ludwig-Maximilians-Universität München nach den, in "Material und Methode" beschriebenen, Richtlinien zur klinischen Studie erstellt wurden.

3.5.2 Nachuntersuchungsintervalle

erstellt, der alle erforderlichen Daten (Datum der letzten Behandlung, Datum der Durchführung des Zeitplanes wurde eine Übersichtsliste zur Nachuntersuchung Photodokumentation und Abdrucknahme. Kontrollsitzung nach Legen der Zahnhalsfüllungen mit Das Fixdatum an dem sich die Nachuntersuchungstermine orientierten, war die Monaten geplant. Dissertation waren zwei Nachuntersuchungen nach einer Liegedauer von 6 und 12 Nachuntersuchungen) entnommen werden konnten (siehe Anhang). Im Rahmen der Zur leichteren Organisation und abschließender

3.5.3 Nachuntersucher

Bezugsperson eine Steigerung der Bereitschaft an den Nachuntersuchungsterminen vorgesehen. Auch versprachen wir uns von der Betreuung der Patienten durch eine Nachuntersucher (Pelka et al. 1994) war im Rahmen dieser Dissertation nicht Vorgehen nach CEN-Kriterien mit Training und Kalibrierung verschiedenen Die Nachuntersuchungen wurden von der Behandlerin selbst durchgeführt. Ein möglichst lange teilzunehmen

3.5.4 Durchführung der Nachuntersuchung

Nach einer allgemeinen Befunderhebung erfolgte die klinische Inspektion und erfolgte im Anschluß. Danach wurden eventuell erforderliche Nachkorrekturen Nachuntersuchungsbogen notiert. Die Photodokumentation und Abdrucknahme Beurteilung der zu untersuchenden Restaurationen. Die oben genannten Kriterien mit einer Zahnreinigung abgeschlossen (Entfernen überstehender Füllungsränder) durchgeführt. Die Nachuntersuchung wurde der Reihe nach untersucht und das Ergebnis auf dem

3.5.5 Prinzip der Nachuntersuchung

zahnärztlichen Restaurationen. Der Untersucher wendet die gleiche klinische veröffentlichten Prinzip der Nachuntersuchung beruht auf der von Ryge und Snyder 1973 Systematik für die Beurteilung der klinischen Qualität von

> klinisch faßbare Parameter geprüft und bewertet. Das Bewertungsschema des United eines neuen Patienten. Die vorhandenen Restaurationen werden auf verschiedene Bewertung der Klasse-V-Restaurationen. diente in modifizierter States Public Health Service (USPHS) für klinische epidemiologische Untersuchungen untersuchungsbogens mit folgenden tabellarisch aufgeführten Kriterien zur klinischen Vorgehensweise an, wie bei der kritischen Befundaufnahme und Behandlungsplanung Form als Basis Ť den Entwurf

	keine	sichtbare Verfärbung		
1 Farbstabilität	Veränderung zum der gesamten	der gesamten		***************************************
	Ausgangsbefund	Füllung		
2. Oberfläche/ Textur	gillgineun	sondierbare Rauhtiefe		
0.00	keine	Füllungsüberschuß,	starke Randverfärbung	starke Randverfärbung
3. Randverfärbung Schmelz		verfärbt, polierbar	durch Politur nicht	durch Politur nicht
			entfernbar (lokalisiert)	entfernbar (generalisiert)
	keine	Füllungsüberschuß,	starke Randverfärbung	starke Randverfärbung
4. Randverfärbung Wurzelzement		verfärbt, polierbar	durch Politur nicht	durch Politur nicht
			entfembar (lokalisiert)	entfernbar (generalisiert)
	o.B.	positive Stufe (zuviel	negative Stufe (zu wenig negative Stufe (zu wenig	negative Stufe (zu wenig
5. Füllungsrand Schmelz		Füllungsmaterial),	Füllungsmaterial) nicht	Fullungsmaterial) nicht
		tastbar, korrigierbar	korrigierbar (lokalisiert)	korrigierbar (generalisiert)
10	o.B.	positive Stufe (zuviel	negative Stufe (zu wenig negative Stufe (zu wenig	negative Stufe (zu wenig
6. Füllungsrand Wurzelzement		Füllungsmaterial),	Füllungsmaterial), nicht Füllungsmaterial), nicht	Fullungsmaterial), nicht
		tastbar, korrigierbar	korrigierbar (lokalisiert)	korrigierbar (generalisiert)
	unverändert	Substanzverlust im	Substanzverlust im	ganz oder teilweise
7 Anatomische Form		Sinne von	Sinne von Absplitterung, Verlust der Füllung	Verlust der Füllung
		Absplitterung,	Abrasion, Rißbildung,	
		Abrasion, Rißbildung	nicht tolerabel	
	•			

Die Restauration wurde photographiert unter Berücksichtigung der Bilder, die zur Die Farbstabilität wurde beurteilt, ohne das Operationsfeld trocken zu legen. Die Füllungsmaterials stattgefunden hat Dokumentation der Ausgangssituation und der frisch gelegten Füllung erstellt wurden. klinische Bewertung erfolgte weiterhin auch unter Wegdrehen der Operationsleuchte Nachuntersuchungsbogen festgehalten, ob eine klinisch sichtbare Verfärbung des klinischen Bildes bnu der Photos

Nach Trockenlegung des zu untersuchenden Areals wurde die Oberfläche der Füllung

sondierbarer Rauhtiefe, die korrigierbar (polierbar) war, und Rauhtiefe, die ohne Schaden für den Zahn bzw. die Füllung nicht durch eine Nachpolitur entfernt werden mit Hilfe einer Explorersonde abgetastet. Unterschieden wurde zwischen sichtbarer

durch Nachpolitur ohne Schaden für den Zahn entfernt werden kann, oder ob (3) eine betrachtet, um auftretende Unterschiede der Randdichtigkeit leichter auswerten zu Randbereich wurden im Schmelz bzw. Wurzelzement gelegene Ränder getrennt Bei der Nachuntersuchung der Füllungen im Hinblick auf Verfärbungen im Füllungsrandumfanges) auftretenden Randverfärbung differenziert zwischen einer lokalisiert (punktuell) und (4) generalisiert (>1/3 des dabei, ob der Verfärbung (2) überschüssiges Füllungsmaterial zugrunde liegt, welches Wurzelzementbereich liegenden Füllungsränder wurden notiert. Berücksichtigt wurde können. Unveränderte (1) sowie klinisch sichtbare Verfärbungen der im Schmelz bzw Politur nicht mehr korrigierbare Randverfärbung vorliegt. Weiterhin wurde

unterschiedliches Randschlußverhalten besser auswerten zu können. Mit einer an Füllungsmaterial vorliegt, oder ob (3) eine negative Stufe, hervorgerufen durch zu ist; ob (2) eine positive, durch Politur entfernbare Stufe, im Sinne eines Überschusses Füllungsrand vorliegt, d.h. keinerlei Übergang zwischen Zahn und Füllung sondierbar Explorersonde wurden die Füllungsränder abgetastet, und notiert, ob (1) ein optimaler Wurzelzementbereich getrennt untersucht, um Hinweise auf möglicherweise oft das Einbringen eines Fadens in den Sulkus erforderlich auftretenden negativen Stufe. In Gingivanähe war der besseren Zugänglichkeit halber wenig Füllungsmaterial tastbar ist. Weiterhin wurde dabei differenziert zwischen einer der Beurteilung der Füllungsränder wurde ebenfalls (punktuell) und (4) generalisiert (>1/3 des Füllungsrandumfanges)

Rißbildung, der oberflächlich, tolerabel oder (3) tiefergehend und somit nicht mehr Füllungszustand, (2) ein Substanzverlust im Sinne einer Absplitterung, Abrasion oder Operationsfeld untersucht. Notiert wurde (1) Die anatomische Form der Füllungen wurde ebenfalls bei trockengelegtem der optimale, unveränderte

> dann auch ein Verlustbogen ausgefüllt, ein Dokumentationsabdruck erstellt sowie ein Photo angefertigt festgestellt und zum Zeitpunkt der Nachuntersuchung festgehalten. Zusätzlich wurde akzeptabel war. Ebenso wird (4) der ganze oder teilweise Verlust der Füllung

Die Ergebnisse der in der Untersuchungssystematik berücksichtigten sieben

Kategorie der Gesamtrestauration zugeordnet. Das Kriterium mit der schlechtesten Bewertung bestimmte dann die Restaurationen ergab. Jedes Einzelkriterium wurde zunächst einer Kategorie zugeordnet, aus denen sich eine abschließende Qualitätsbezeichnung Einzelkriterien (Tab.12) wurden anschließend folgenden vier Bewertungskategorien

Andillerancecicinium	TARCE OF THE	
zufriedenstellend	alpha	Die Qualität der Restauration ist exzellent, der Zahn
		und/oder die umliegenden Gewebe werden adäquat
3		geschützt.
	bravo	Die Qualität der Restauration ist akzeptabel, ein oder
	er d'arrie e'	mehrere Kriterien weichen vom Ideal ab. Eine
		Rekonturierung ist möglich bzw. nicht nötig. Ein
		Schaden für den Zahn und/oder die umliegenden
		Gewebe ist unwahrscheinlich. Kontrolle in der
		nächsten Sitzung.
	charlie	Die Qualität der Restauration ist zufriedenstellend. Es
2 7 9		bestehen geringe Mängel, die nicht ohne Schaden
		für den Zahn entfernt werden können, jedoch noch
		keine negativen Auswirkungen erwarten lassen.
nicht akzeptabel	delta	Die Qualität der Restauration ist nicht akzeptabel, es
	(Contraction of Contraction of Contr	bestehen starke Mängel, die einen Schaden für den
		Zahn und/oder die umliegenden Gewebe erwarten
		lassen bzw. den Zahn und/oder umliegendes
10		Gewebe bereits unmittelbar schädigen.
		Restauration sollte erneuert werden bzw.
		Restauration ist bereits verloren gegangen.

3.5.6 Füllungsverlust

Der Verlust von Zahnhalsfüllungen wurde auf einem Verlustbogen (siehe Anhang) dokumentiert. Es wurden Datum, Zahn, Kavitätenform und Füllungsmaterial festgehalten. Neben einer Photodokumentation, erfolgte eine Defektabformung mit dem Silikonabfornmaterial Unosil®, die mit Epoxidharz ausgegossen wurde. Die Zahnhalsdefekte wurden anschließend erneut versorgt, jedoch nicht nochmal als Patientenfall in die Studie mit aufgenommen.

4 Ergebnisse

Von den bei 37 Patienten gelegten 197 Klasse-V-Füllungen konnten, wegen fehlender Compliance von 6 Patienten, bei insgesamt 31 Patienten 177 Restaurationen nach einer Liegezeit von durchschnittlich 8 Monaten nachuntersucht werden (Nachuntersuchung 1). Beim zweiten Nachuntersuchungsintervall, durchschnittliche Liegezeit 15 Monate, konnten bei 29 Patienten noch 157 Restaurationen beurteilt werden (Nachuntersuchung 2). Zum einen waren zwei Patienten nicht zur weiteren Mitarbeit bereit, zum anderen wurden die zum Zeitpunkt der ersten Nachuntersuchung herausgefallenen 10 Restaurationen nicht mehr in der Studie berücksichtigt. Ein im Rahmen der Studie versorgter Zahn mußte wegen einer umfangreichen prothetischen Versorgung überkront werden.

Die nachfolgende Tabelle gibt eine Gesamtübersicht über die verwendeten Füllungsmaterialien, die Anzahl angefertigter Restaurationen pro Material, die Anzahl nachuntersuchter Füllungen sowie die Anzahl der Füllungen, die nicht nachuntersucht werden konnten.

Füllungsmaterial	Photac FI®	Fuji II LC®	Syntac®/ Tetric®	Dyract®	Gesamt
Gesamtzahl der Füllungen	31	51	36	79	197
Mangeinde Compliance	ω	6	1	10	20
Anzahi Nachuntersuchung 1	28	45	35	69	177
Mangelnde Compliance	1 (Krone)	ω	3	ω	10
Füllungsverlust	ω	ယ	0	4	10
Anzahl Nachuntersuchung 2	24	39	32	62	157

Die insgesamt gute Compliance der Patienten ist sicherlich mit auf die ästhetisch sehr beeindruckenden Ergebnisse zurückzuführen, die sich mit allen verwendeten Materialien erreichen ließen. Insgesamt konnten dadurch im ersten Intervall 90%, im zweiten Intervall 80% aller gelegten Zahnhalsfüllungen nachuntersucht werden.

allen vier verwendeten Füllungsmaterialien sehr gute Ergebnisse zu erzielen. Wie die nachfolgenden klinischen Bilder (Abb.:12 - 19) zeigen, waren zunächst mit



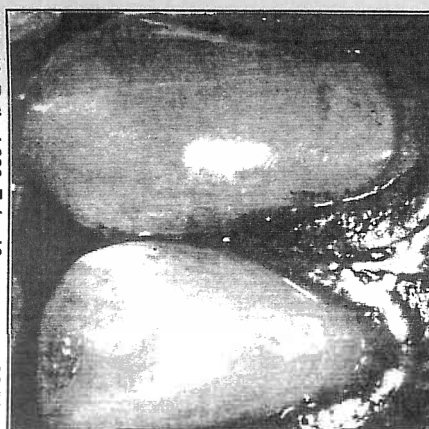
Füllungsrandkaries im Wurzelzementbereich. Kompositfüllung zervikal, Abb. 12: Patient 015, Zahn 13 Farbe zu 11.02.94 hell



Abb. 13: Patient 015, Zahn 13 Füllungstherapie mit Photac Fil®.



Kompositfüllung zervikal, Farbanpassung schlecht, Füllungsrandverfärbung, Sekundärkaries im Wurzelzementbereich. Abb. 16: Patient 029, Zahn 13



06.06.94

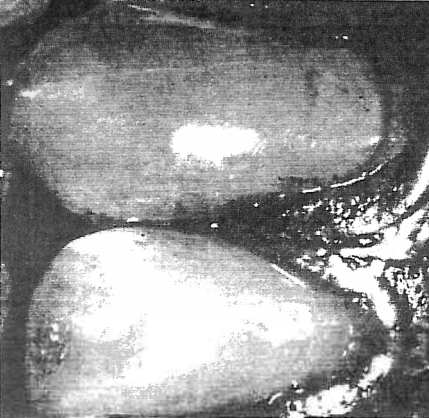


Abb. 17: Patient 029, Zahn 13 Füllungstherapie mit Dyract®.



13.06.94





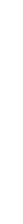
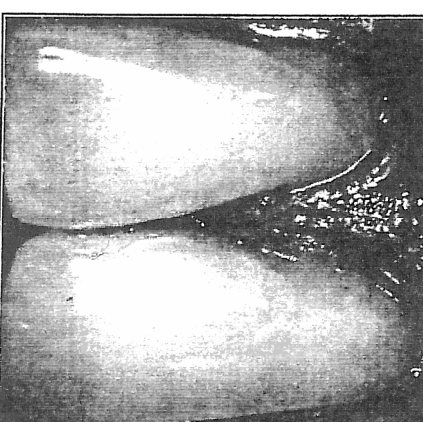




Abb. 19: Patient 030, Zahn 22, 23 Füllungstherapie mit Tetric®/ Syntac®



27.07.94







44

vertärbt.

Kompositfüllung zervikal, Ränder überstehend,

25.10.93

Abb. 15: Patient 005, Zahn 11 Füllungstherapie mit Fuji II LC®.

03.12.9

Abb. 14: Patient 005, Zahn 11

Die Auswertung der Einzelkriterien des Nachuntersuchungsbogens und ihre Zuweisung zu den vier Bewertungskategorien "alpha", "bravo", "charlie" und "delta" (Tab.13) ergab folgende Ergebnisse (Abb. 20 und 21):

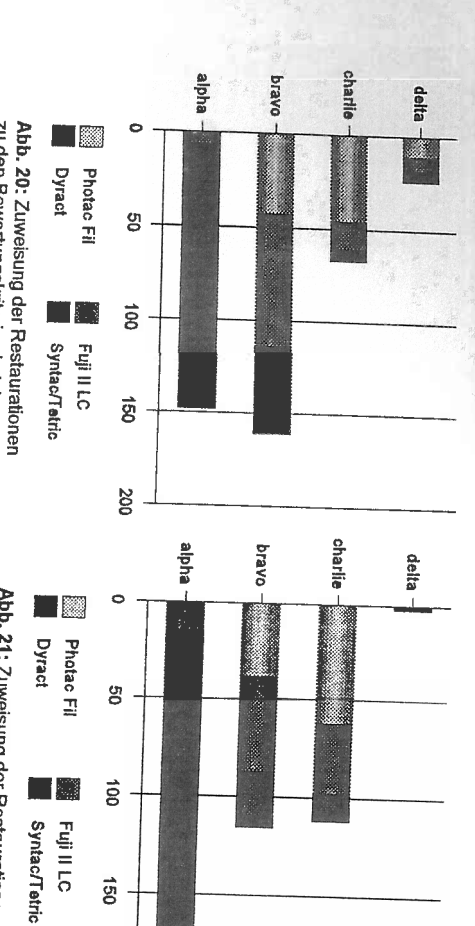


Abb. 21: Zuweisung der Restaurationen zu den Bewertungskriterien bei der zweiten Nachuntersuchung,

zu den Bewertungskriterien bei der ersten Nachuntersuchung,

(Liegedauer 8 Monate).

(Liegedauer 15 Monate).

In den beiden Diagrammen sind, der besseren Übersicht wegen, die Werte in Prozentzahlen dargestellt. Den Tabellen 15 und 16 ist die zahlenmäßige Verteilung der Restaurationen pro Füllungsmaterial auf die vier Kriterien zu entnehmen.

	Tah 15.	Tetric®	Syntan®		Cylacky.	Direction of the control of the cont	188) - -	T)	1	, i	Dhotan	Material	Kalagoria
1 Buntanstaller	Jachintoni,		_	(58%)	4	5	(0, 1)	79/	J)	(0%)		>		te alpha
r gruns	(1/%)	0	,	(30%)	N	!	(/1%)	32	3	(43%)	Ž.			bravo
	(0%)	C		(6%)	4		(15%)	_		(46%)	13			charlie
	(0%)	0	1	(6%)	4		(7%)	ω		(11%)	ω			detta
Tab. 16: Nachuntersuchung 2	Tetric®	Syntac® /	T		Dyract®		ြို့	Fuji II	Ī	<u>II</u>	Photac		Material	Kalegoria
huntersu	(88%)	28	(00/0)	(80%)	42		(15%)	o		(0%)	0			alpha
chung 2	(6%)	N	(20%)	3387	14	(10,0)	(49%)	19	(00,00)	(38%)	9		ı	биако
	(6%)	2	(8%)		S)	(00,00)	(36%)	14	(02.70)	(626/	15			charlle
12:0)	6%)	0	(2%)		-	(0,0)	(00/)	0	(0%))	0			delta

Bereits nach einer Liegedauer von 8 Monaten läßt sich aufgrund der resultierenden Qualitätsbezeichnung der Restaurationen eine Rangfolge für die verwendeten Materialien festlegen, die auch bei der zweiten Nachuntersuchung nach 15 Monaten bestehen bleibt: Syntac®/Tetric® >Dyract® >Fuji II LC® >Photac Fil®. Die "delta-Säule" bei Nachuntersuchung 1 ergibt sich aus der Anzahl von Füllungsverlusten, die bei den Materialien Photac Fil®, Fuji II LC® und Dyract® aufgetreten sind. Nach weiteren sieben Monaten Liegezeit ging nur eine Dyract® -Restauration verloren.

Die Gesamtübersicht zeigt eine materialunabhängige Bewertung aller im Rahmen der

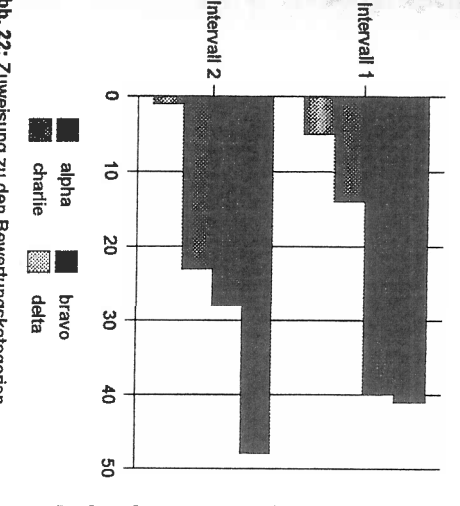


Abb. 22: Zuweisung zu den Bewertungskategorien in der Gesamtübersicht

Nachuntersuchung Restaurationen bei der ersten korrigierbare erklärt sich Restaurationen. Studie angefertigten zervikalen "alpha" zugewiesen werden. Dies Restaurationen der Kategorie konnten 48% aller Klasse-Vder zweiten Nachuntersuchung zugerechnet. Bei der Auswertung Füllungen der Kategorie "alpha" (Intervall 1) wurden 41% der Liegedauer Υon dadurch, Mängel 8 Monaten Nach einer behoben daß der

wurde, der besseren Übersicht wegen, die Darstellung in Prozentzahlen gewählt. Restauration aufgrund starker Mängel aus Gründen der Prävention zu erneuern. Die Nachuntersuchungsintervalle in nachfolgenden Diagrammen dargestellt. Auch hier nachgelassen hat. Dennoch war es zu diesem Zeitpunkt noch nicht erforderlich eine deren Füllungsqualität nach einer Gesamtliegezeit Intervalls stieg aber auch die Anzahl der Restaurationen in der Kategorie "charlie" bewerteten Füllungen konnte dadurch aufgewertet werden. Während des zweiter Hauptsächlich sind dafür die lichthärtenden Glasionomerzemente verantwortlich, da Nachuntersuchungskriterien 3 wurden. Ein Teil der mit "bravo' einzelnen ۷on 귥 Monaten stark S für beide

4.1 Farbstabilität und Oberfläche/Textur

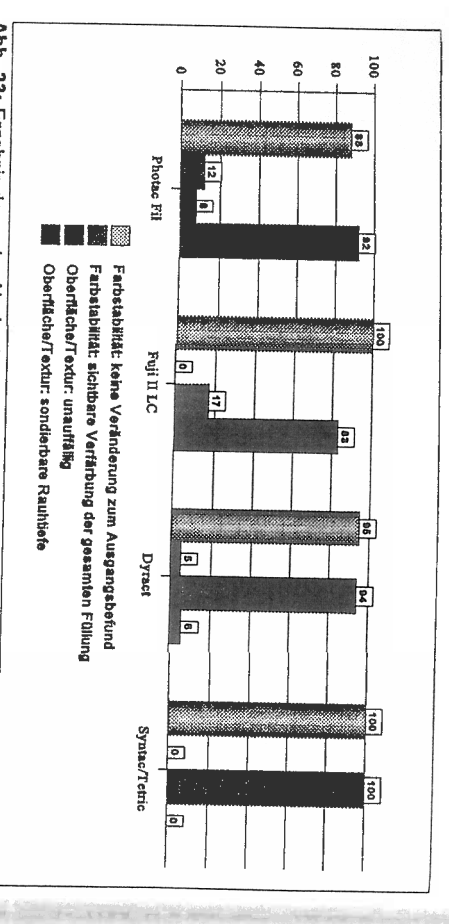


Abb. 23: Ergebnis der ersten Nachuntersuchung für die Kriterien Farbstabilität und Oberfläche/Textur (Angaben in Prozent).

Bei der ersten Nachuntersuchung zeigten Fuji II LC® und die Kombination Tetric®/ Syntac® bezüglich der Farbstabilität die besten Ergebnisse. Bei Dyract® ergab sich in 5 % (3 von 65), bei Photac Fil® in 12% (3 von 25) der Fälle eine Verfärbung der gesamten Füllung. Die Füllungsoberfäche/Textur war bei Tetric® zu 100% (35 von 35) bei Dyract® zu 94% (61 von 65) unauffällig. Fuji II LC® und Photac Fil® dagegen zeigten zu 83% (35 von 42) bzw. 92% (23 von 25) sondierbare Rauhtiefen.

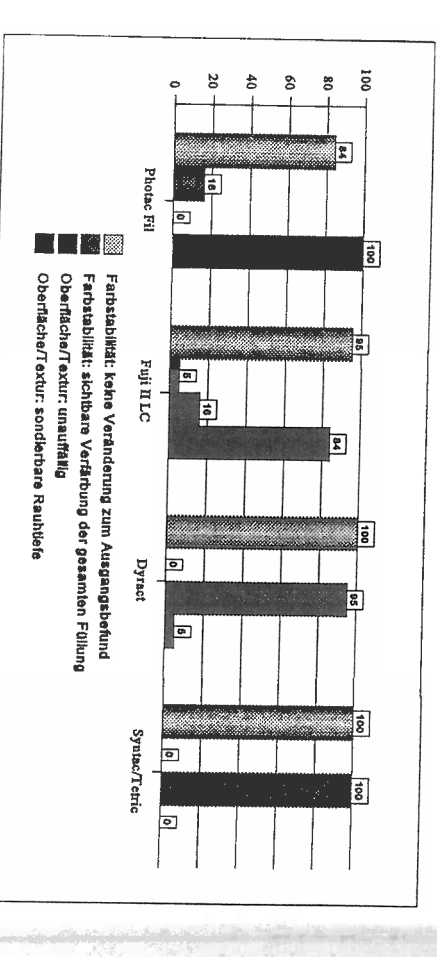


Abb. 24: Ergebnis der zweiten Nachuntersuchung für die Kriterien Farbstabilität und Oberfläche/Textur (Angaben in Prozent).

Die zweite Nachuntersuchung zeigte, bezüglich der Farbstabilität ergab sich keine Veränderung zum Ausgangsbefund bei den Materialien Dyract® und Tetric®/Syntac®, Photac Fil® und Fuji II LC® zeigten zu 16% (4 von 24) und 5% (2 von 39) eine sichtbare Verfärbung der gesamten Füllung. Die Restaurationen mit Photac Fil® zeigten nun zu 100% (24 von 24), mit Fuji II LC® zu 84% (33 von 39) sondierbare Rauhtiefen.

4.2 Randverfärbung Schmelz/Wurzelzement

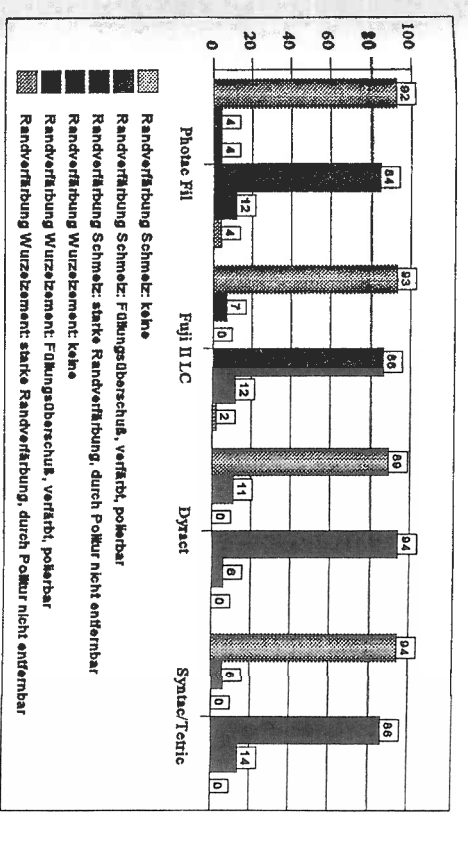


Abb. 25: Ergebnis der ersten Nachuntersuchung für das Kriterium Randverfärbung Schmelz Wurzelzement (Angaben in Prozent).

Photac Fil® wies als einziges Material im Schmelzbereich so starke Randverfärbungen auf, daß diese durch Politur nicht zu entfernen waren, ohne dabei die Zahnsubstanz zu beschädigen. Eine durch Politur zu entfernende Verfärbung der Füllungsränder im Schmelz war mit 11% (7 von 67) am häufigsten bei Dyract® festzustellen. Polierbare Randverfärbungen im Wurzelzement traten bei Photac Fil®, Fuji II LC® und Tetric®/Syntac® zu etwa gleichen Anteilen auf. Dyract wies mit 6 % (4 von 67) den geringsten Anteil an Randverfärbungen im Wurzelzementbereich auf.

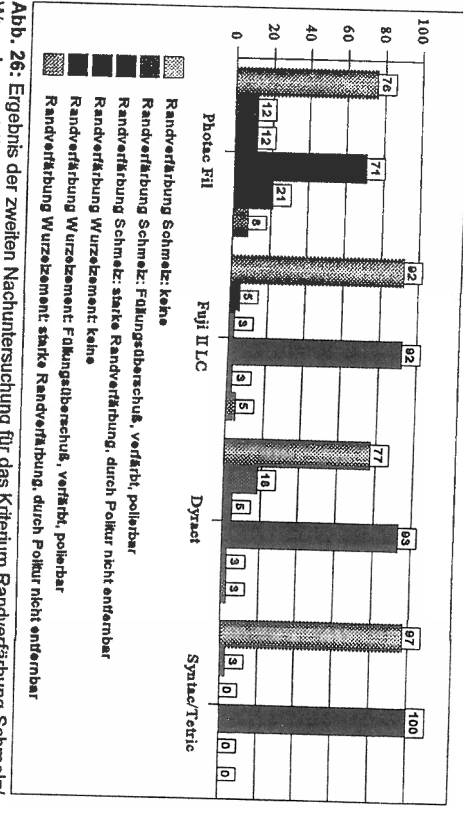


Abb. 26: Ergebnis der zweiten Nachuntersuchung für das Kriterium Randverfärbung Schmelz/ Wurzelzement (Angaben in Prozent).

Nach dem zweiten Nachuntersuchungsintervall zeigte sich eine starke Zunahme der Randverfärbungen im Schmelz und Wurzelzement bei Photac Fil®. Fuji II LC® mit 92% (36 von 39) nicht verfärbten Rändern schneidet gut ab. Dyract® zeigte wiederum im Schmelz einen mit 18% (11 von 61) hohen Anteil wegpolierbare Verfärbungen der Füllungsränder. Tetric®/Syntac® mit 97% (31 von 32) nicht verfärbter Füllungsränder im Schmelz und 100% (32 von 32) im Wurzelzement bot das beste Ergebnis.

4.3 Füllungsrand Schmelz/Wurzelzement

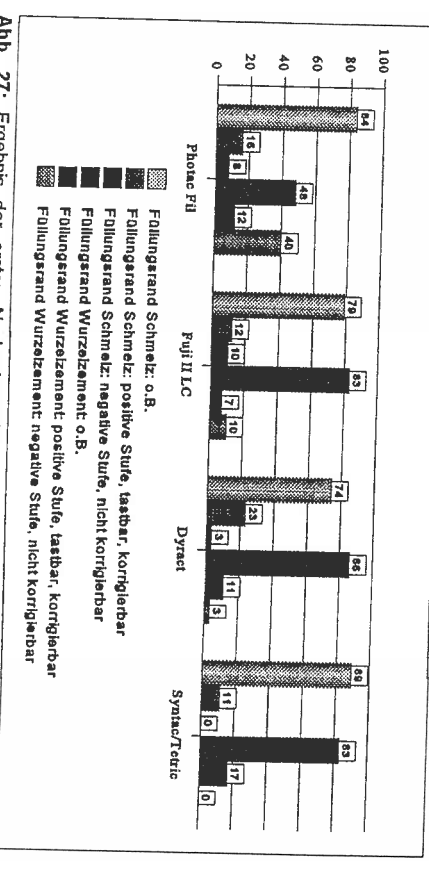


Abb. 27: Ergebnis der ersten Nachuntersuchung für das Kriterium Füllungsrand Schmelz/

Das Abtasten der Füllungsränder im Schmelzbereich zeigte bei Dyract® mit 23% (15 von 65) einen relativ hohen Anteil tastbarer positiver Stufen. Der höchste Anteil negativer, nicht korrigierbarer Stufen im Schmelz ergab sich bei Fuji II LC ® mit 10% (4 von 42). Die Füllungsränder im Wurzelzementbereich waren bei Photac Fil® mit 12% (3 von 25) positiven tastbaren Stufen und 40% (10 von 25) negativen Stufen insgesamt am schlechtesten.

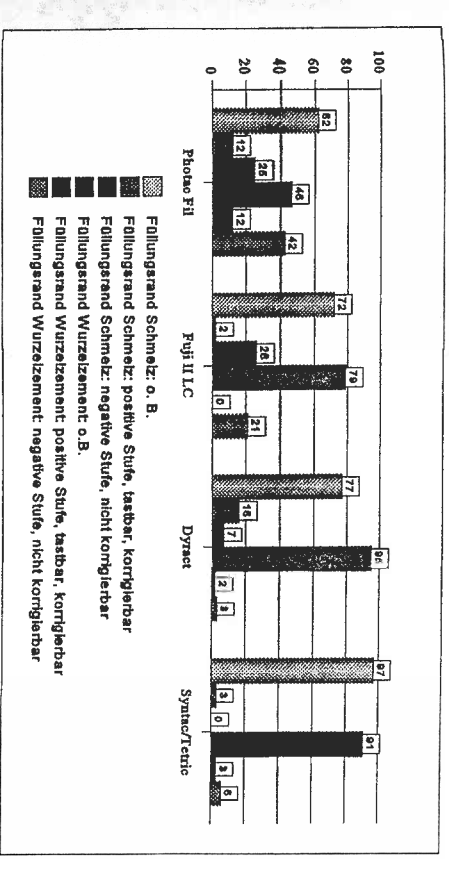


Abb. 28: Ergebnis der zweiten Nachuntersuchung für das Kriterium Füllungsrand Schmelz/ Wurzelzement (Angaben in Prozent).

Photac Fil® zeigte nur noch 62% (15 von 24) intakte Füllungsränder im Schmelz und 46% (11 von 24) im Wurzelzement. Fuji II LC® zeigte zu 26% (10 von 39) im Schmelz und zu 21% (8 von 39) im Wurzelzement negative Stufen, die auf Materialunterschuß zurückzuführen waren. Der Füllungsrand im Wurzelzement war bei den Dyract® - Restaurationen zu 95% (58 von 61) in Ordnung. Tetric®/Syntac® zeigte ein sehr gutes Ergebnis.

4.4 Anatomische Form/Füllungsverlust

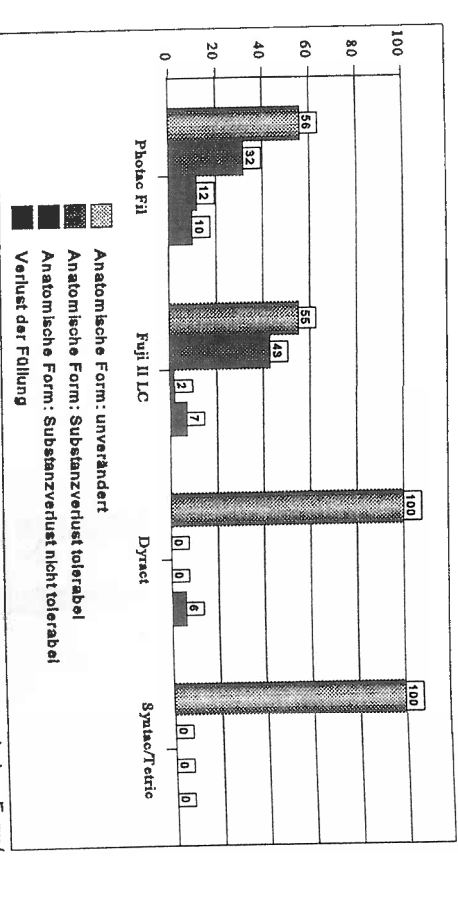
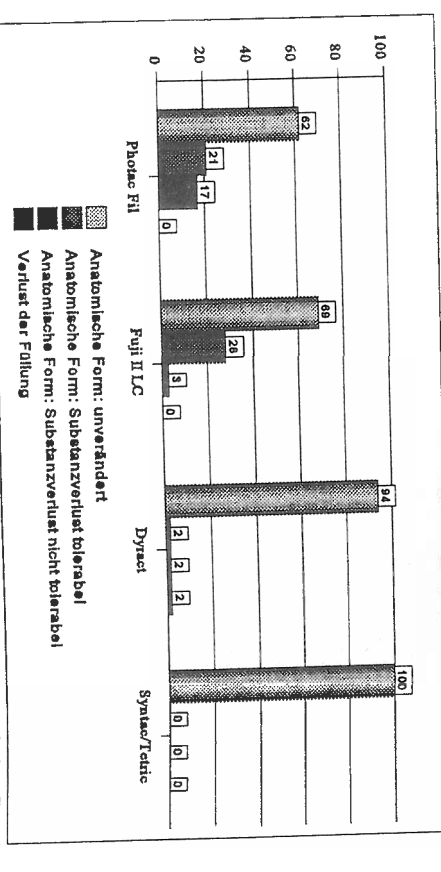


Abb. 29: Ergebnis Fullungsverlust (Angaben in Prozent). Ergebnis der ersten Nachuntersuchung für die Kriterien Anatomische Form/

Hinsichtlich der anatomischen Form zeigte Tetric®/Syntac® die besten Ergebnisse, Substanzverluste präsentierten sich unter dem Blickwinkel dieses Kriteriums am zum Zeitpunkt der Nachuntersuchung in situ. Fuji II LC® zu 7% sowie bei Dyract zu 6%. Bei Tetric®/Syntac® waren alle Füllungen schlechtesten. Füllungsverluste ergaben sich bei den Materialien Photac Fil® zu 10%, und Fuji II LC® mit einem hohen Anteil klinisch tolerabler



Füllungsverlust (Angaben in Prozent) Abb. 30: Ergebnis der zweiten Nachuntersuchung für die Kriterien Anatomische Form/

Photac Fil® und Fuji II LC® zeigten mit 21% (5 von 24) und 28% (11 von 39) Füllung von 62 (2%) ging verloren. Tetric®/Syntac® zeigte hier das beste Ergebnis Substanzverluste, die jedoch noch im tolerablen Bereich lagen. Nur eine Dyract®

4.5 Statistische Auswertung

Die statistische Auswertung der Ergebnisse erfolgte durch Pearson's Chi-Quadratmarkierten Felder als statistisch signifikante Unterschiede (p \leq 0,05) des ersten verwendeten Füllungsmaterialien vermerkt. Dabei sind die mit einem Kreis (

) Nachuntersuchungskriterien aufgetretene signifikante Unterschiede zwischen den vier Übersichtstabellen zur Statistik (Tab. 17 - 23) sind bezüglich der sieben Test mit SPSS 6.1 für Windows (Signifikanzniveau p = 0,05). In den folgenden entsprechenden Materialien bei beiden Nachuntersuchungen aufgetreten sind daß bezüglich des betreffenden Kriteriums signifikante Unterschiede zwischen den Nachuntersuchungsintervall hin. Enthält ein Feld beide Symbole, so bedeutet dies Felder deuten auf statistisch signifikante Unterschiede (p < 0,05) im zweiten Nachuntersuchungsintervalls zu verstehen. Die mit einem Dreieck (▼) markierten

Tab. 17: Farbstabilität

Tab. 18; Oberfläche/Textur

Syntac® /Tetric®	Dyract®	Fuji II	Photac Fil®	
•	4			Photac Fil®
				Fuji II
				Fuji II Dyract® Syntac®
				Syntac® /Tetric®
Syntac® /Tetric®	Dyract®	Fuji II	Photac Fil®	
Syntac® ● ▼ ● ▼ // Tetric®	• 4			Photac Fik®
•	• 1			Fuji II Dyract® Syntac® LC® /Tetric®
			T	
)yract®

Signifikanter Unterschied (p≤0,05), aufgetreten im ersten Nachuntersuchungsintervall (Liegezeit 8 Monate)

^{▼ ~} Signifikanter Unterschied (p≤0,05), aufgetreten im zweiten Nachuntersuchungsintervall (Liegezeit 15 Monate)

Statistisch signifikante Unterschiede bezüglich der Farbstabilität ergaben sich nur zwischen den Materialien Photac Fil® im Vergleich zu Dyract® und Syntac® /Tetric®. Es traten bei Photac Fil® häufiger Verfärbungen der gesamten Füllungsoberfläche auf. Unterschiede in Oberfläche/Textur waren statistisch signifikant sowohl zwischen beiden lichthärtenden Glasionomerzementen und dem Komposit, als auch zwischen beiden lichthärtenden Glasionomerzementen und dem Kompomer. Photac Fil® und Fuji II LC® zeigten eine sondierbar rauhere Oberfläche.

Tab. 19: Randverfärbung Schmelz

Tab. 20: Randverfärbung Zement

	⊗ ⊗	Syntac®				Syntac® /Tetric®
◀	\$	Dyract®				Dyract®
		Fuji II				Fuji II
	, i	Photac Fil®				Photac Fil®
Photac Fuji II Dyract® Syntac® FI® LC® /Tetric®		Fuji II Dyract® Syntac® LC® /Tetric®	Dyract®	Fuji II	Photac Fil®	

 ^{■ ≈} Signifikanter Unterschied (p≤0,05), aufgetreten im ersten Nachuntersuchungsintervall (Liegezeit 8 Monate)
 ▼ ≈ Signifikanter Unterschied (p≤0,05), aufgetreten im zweiten Nachuntersuchungsintervall (Liegezeit 15 Monate)

Statistisch signifikante Unterschiede der Füllungsmaterialien bezüglich der Randverfärbung in Schmelz und Wurzelzement traten erst bei der zweiten Nachuntersuchung nach einer Liegedauer von 15 Monaten auf. Den Schmelz betreffend zeigte Photac Fil® signifikant häufiger Verfärbungen als Syntac®/Tetric®. Den Wurzelzement betreffend traten bei Photac Fil® signifikant häufiger Randverfärbungen auf als bei Syntac®/Tetric® und Dyract®.

Tab. 21: Füllungsrand Schmelz

14
0
15
2
2.5
1.3
1:-
-
1
1
=
=
ō
S
122
K
1
N
O
17
7
line.
i#

Syntac® Лetric®	Dyract®	Fuji II	Photac Fil®	
4				Photac Fil®
4				Fuji II LC®
		•		Dyract®
				Syntac® /Tetric®

Syntac® /Tetric®	Dyract®	Fuji II LC®	Photac Fil®	
•	• 4	• •		Photac FIM
•				Fuji (I
				Dyract®
				Syntac® /Tetric®

Signifikanter Unterschied (p≤0,05), aufgetreten im ersten Nachuntersuchungsintervall (Liegezeit 8 Monate)
 Signifikanter Unterschied (p≤0,05), aufgetreten im zweiten Nachuntersuchungsintervall (Liegezeit 15 Monate)

Füllungsmaterialien. Nachuntersuchung Für das Kriterium Füllungsrand Schmelz ergaben sich auch erst bei der zweiten LC® war signifikant schlechter als Syntac®/Tetric® bereich auf, als bei den zwei Vergleichsmaterialien und der Kontrollgruppe. Fuji II Restaurationen mit Photac Fil® signifikant häufiger Randimperfektionen im Zement-Nachuntersuchungen. Nach 8 und auch nach 15 Monaten Liegezeit traten bei den des Kriteriums Füllungsrand Zement zeigten sich signifikante Unterschiede bei beiden Schmelz signifikant häufiger Randimperfektionen auf als Syntac® /Tetric®. Bezüglich Überschüsse als Fuji II LC®. Beide lichthärtenden Glasionomerzemente wiesen im signifikante Dyract® zeigte im Schmelzbereich signifikant Unterschiede zwischen den einzelnen häufiger

Tab. 23: Anatomische Form

Syntac® /Tetric®	Dyract®	Fuji II	Photac Fil®	
• •	• 🔻			Photac Fil®
• 4	▶ ●			Fuji II
				Dyract®
		5		Syntac® /Tetric®

■ ≈ Signifikanter Unterschied (p≤0,05), aufgetreten im ersten Nachuntersuchungsintervall (Liegezeit 8 Monate)
 ▼ ≈ Signifikanter Unterschied (p≤0,05), aufgetreten im zweiten Nachuntersuchungsintervall (Liegezeit 15 Monate)

Bei Betrachtung der anatomischen Form traten Substanzverluste im Sinne von Absplitterung, Abrasion oder Rißbildung bei beiden Nachuntersuchungen signifikant häufiger bei den lichthärtenden Glasionomerzementen auf.

5 Diskussion

5.1 Verfärbungen und Veränderungen der Oberflächentextu

Die kunststoffmodifizierten Glasionomerzemente wiesen bereits nach achtmonatiger klinischer Verweildauer Verfärbungen und Veränderungen der Oberflächentextur auf. Nach einer Liegezeit von insgesamt 15 Monaten war, verglichen mit den Ergebnissen nach achtmonatiger Verweildauer, bei den Restaurationen mit Photac Fil® eine Zunahme der Anzahl verfärbter Füllungen um 4%, bei den Restaurationen mit Fuji II LC® um 5% feststellbar.. Die Anzahl der Füllungen mit sondierbarer Rauhtiefe war mit 8% am deutlichsten bei dem Material Photac Fil® gestiegen.

Das Kompomer Dyract® zeigte bereits bei der Ausarbeitung bessere Polierbarkeit, (Käse 1993) und erlangte dadurch eine bessere Farbstabilität und glattere Oberfläche. Beim ersten Nachuntersuchungstermin zeigten drei von 65 Restaurationen eine Verfärbung der gesamten Füllung, die jedoch nach erneuter Politur bei der zweiten Nachuntersuchung nicht mehr auftrat.

Das beste Resultat bezüglich Farbstabilität und Oberflächentextur konnte mit dem Komposit Tetric® erzielt werden.

Die Unterschiede in der Oberflächentextur sind vor allem unter dem Aspekt der unterschiedlichen Füllkörpergröße verständlich; die kunststoffmodifizierten Glasionomerzemente weisen wesentlich größere Füllkörper (< 30 µm) als Dyract® und Tetric® (0,04 - 3 µm) auf. Daraus resultiert eine vergleichsweise schlechtere Polierbarkeit und höhere Porosität der Materialoberfläche (Tyas 1995). Die Verfärbungstendenz hängt neben der Anlagerung von Farbpartikeln an die rauhe Oberfläche auch von der unterschiedlichen Matrix der verwendeten Materialien ab. Bei Tetric® handelt es sich z. B. um eine hochvernetzte, hydrophobe Polymermatrix, die gegen Verfärbungen beständiger ist, als die hydrophilen Matrizes des Kompomers und der kunststoffmodifizierten Glasionomerzemente.

5.2 Randverfärbungen

Klinisch sichtbare Randverfärbungen im Schmelz bzw. Wurzelzement sind auf Randinkongruenzen, in Folge von Materialüberschuß oder Materialunterschuß, sowie sich entwickelnde Randspalten zurückzuführen.

5.2.1 Füllungsüberschüsse

signifikant bessere Randständigkeit in Dentinkavitäten als bei chemisch härtenden Vergleich zu chemisch härtenden Glasionomerzementen ergab zwar für Fuji II LC® durch Polymerisationsschrumpfung bei lichthärtenden Glasionomerzementen et al. 1996). Auch die, in dieser Studie für Fuji II LC® beobachtete Zunahme nich daß eine nachträgliche Volumenveränderung des Restaurationsmaterials durch entfernbarer Füllungsüberschüsse im Schmelz (12%) und Wurzelzement (21%), sc jedoch -soweit polierbar- nachträglich entfernt wurden. Die Ergebnisse der zweiten Überschüsse kontrolliert werden. Somit wurde das in der ersten Nachuntersuchung gegenüber Austrocknen beim Ausarbeiten der Füllungen nur eingeschränkt auf Photac Fil® und Fuji II LC® konnten beispielsweise aufgrund der Empfindlichkeit während der Aushärtung und nachfolgenden Wasseranlagerung (Attin et al. Volumenveränderungen bei lichthärtenden Glasionomerzementen und des Füllungsmaterials durch Volumenänderungen während der Aushärtungsphase Füllungsüberschüsse können neben unzureichender Ausarbeitung nach Applikation zurückzuführen. Eine entsprechende In-vitro-Untersuchung über die Randspaltbildung auf im Laufe der Zeit zunehmende Verfärbung vorhandener Randspalter polierbarer Randverfärbungen im Zement (5% bei der zweiten Nachuntersuchung), ist Fil® beobachteten Ergebnisse werden von Attin in einer In-vitro-Studie bestätigt (Attir vorhandene Randspalten interpretiert werden. Die in dieser Untersuchung für Photac Anteils nicht durch Politur entfernbarer Randverfärbungen muß als ein Hinweis auf verhältnismäßig hohe Wasseraufnahme angenommen werden muß. Die Zunahme des Nachuntersuchung zeigten jedoch v.a. bei Photac Fil® erneut einen hohen Antei bei diesen Restaurationen größtenteils auf Füllungsüberschüsse zurückgeführt, die beobachtete Auftreten von Randverfärbungen im Schmelz und auch im Wurzelzemen nachfolgender Wassereinlagerung verursacht werden. Attin berichtet über Dyract®

Glasionomerzementen, dennoch waren auch bei Fuji II LC® Randspalten bis zu 8 µm aufgetreten (Sidhu 1994). In einer In-vitro-Untersuchung von Reich zur Randqualität von Zahnhalsfüllungen aus lichthärtenden Glasionomerzementen zeigte Fuji II LC® von allen getesteten Materialien zwar das bessere Ergebnis, doch wurde auch hier Randspaltbildung im Dentin nachgewiesen (Reich 1994).

Bei Dyract® müssen die, bei der ersten Nachuntersuchung beobachteten, Füllungsüberschüsse auf eine nachträgliche Queilung des Materials zurückgeführt werden. Analoge Ergebisse konnten in einer, im Hause durchgeführten, In-vitro-Untersuchung festgestellt werden (Kunzelmann 1994). In dieser klinischen Untersuchung entstanden trotz Entfernen der Überschüsse nach einer Liegedauer von insgesamt 15 Monaten erneut polierbare Randverfärbungen, die aus fortdauernder Volumenveränderung dieses Materials resultierten. Die relativ guten Randergebnisse von Dyract® im Dentin werden ebenfalls in der In-vitro-Studie von Attin bestätigt (Attin 1996).

signifikant weniger Ausquellungen zu beobachten als Versuchszeitraum an der Schmelz-Kompositgrenze keinerlei Ausquellung zeigte und etwas schwieriger auszuarbeiten. Komposite quellen durch Wasseraufnahme und Darüber hinaus ist Tetric® im Vergleich zu den anderen Füllungswerkstoffen härter die Anschrägung des Kavitätenrandes das Erkennen der Überschüsse erschwerte. Eine mögliche (Thonemann 1995). Dadurch wird das gute Ergebnis von Syntac®/Tetric® bei der Unter Verwendung eines Dentinadhäsives waren an der Dentin-Kompositgrenze Thonemann zeigt in einer Untersuchung, daß Tetric®/Syntac® über den Degradationsprozessen führen und damit die Randqualität negativ beeinflussen Torstensen 1988). Polymerisationsschrumpfung initial entstandenen Spalten (Kemp-Scholte 1989 kommt es durch die hygroskopische Expansion zu einer Reduktion der durch die erfahren so eine Volumenzunahme (Kullmann 1990, Torstensen 1988). Zum einen (Tetric®/Syntac®) dürfte darin liegen, daß die Farbanpassung des Komposites, sowie Erklärung Zum anderen kann die Wasseraufnahme langfristig zu die Überschüsse bei ohne Dentinadhäsiv der Kontrollgruppe

zweiten Nachuntersuchung bestätigt. Nach erneutem Nachpolieren der verfärbten Füllungsränder zum Zeitpunkt der ersten Nachuntersuchung blieb bei dem Material Tetric®/Syntac® das Ergebnis stabil. Das insgesamt gute Resultat der Komposit-Dentinadhäsiv-Kombination Tetric®/Syntac® bei der Versorgung von Klasse-V-Kavitäten wird weiterhin durch Studien von Lutz und Cury bestätigt (Lutz 1993, Cury 1992).

5.2.2 Füllungsunterschuß

Dies deutet auf die äußerst geringe Verschleißfestigkeit dieses Materials auch in Verschleißursache das Mundhygieneverhalten der Patienten identifiziert werder Unterschüssen kritischer bewertet werden. Im Zahnhalsbereich kann als häufigste präpariert werden konventionellen Glasionomerzementen eine zirkuläre Stufe von 0,5 mm Tiefe Kavitätenrändern sollte deshalb Glasionomerzementen bekannt sind (Hickel 1994). Bei dünn auslaufender Zahnbürstabrasion auch Füllungsrandausbrüche, wie sie von konventioneller keilförmige Defekte, haben geringe Materialschichtdicken im Füllungsrandbereich zu (Bauer 1996). Flach auslaufende Zahnhalskavitäten, insbesondere Erosionen und In-vitro-Abrasionsversuche (3-Körper-Verschleiß) in unserem Hause erzielt werder kontaktfreien Bereichen (contact-free-areas) hin. Analoge Ergebnisse konnten durch Materialunterschuß weist in dieser klinischen Studie das Material Photac Fil® auf (Mierau 1989). Den mit Abstand größten Anteil an Randimperfektionen auf Grund vor Zahnsubstanz zu opfern, oder die Füllung zu erneuern, muß das Vorliegen von Füllungsmaterialien. Da Unterschuß nicht korrigiert werden kann, ohne entweder Kriterium "Füllungsunterschuß" einen Hinweis auf das Verschleißverhalten vor leicht ohne Schaden für den Zahn oder die Füllung entfernt werden können, gibt das Während Überschüsse (durch Quellung oder Übermodellation) bei Nachkontrollen Dadurch entstanden bei Photac Fil® neben dem Unterschuß durch zumindest bei Photac Fil® analog zu

In Ubereinstimmung mit der entsprechenden im Hause durchgeführten In-vitro-Untersuchung (Kunzelmann 1994) konnte klinisch bei Dyract® die beste Randsituation

im Dentinrandbereich beobachtet werden. Im Gegensatz zur In-vitro-Studie fällt klinisch allerdings der Unterschied zwischen den Materialien hinsichtlich der Randsituation im Dentin weit weniger ins Gewicht. Eine mögliche Erklärung für diesen Unterschied liegt in der Kavitätengeometrie begründet. In vitro wurde mit der nahezu zylinderförmigen Kavität die ungünstigste Situation ("worst case") simuliert, d.h. die gesamte auftretende Polymerisationsspannung wurde auf den Randverbund Füllung-Zahn weitergeleitet. Im Gegensatz hierzu weist die klinische Situation meist andere Kavitätenkonfigurationen auf, bei denen mehr freie Füllungsoberflächen vorliegen, wodurch Polymerisationsspannungen besser kompensiert werden können. Im weiteren weisen Kompomere ein niedrigeres E-Modul auf, das bei der Deformation der Zahnhalsregion infolge okklusaler Belastung (Körber 1962) eine gewisse Pufferfunktion übernehmen kann, die den Verbund/Randschluß stabilisiert (Krejci 1995).

5.3 Anatomische Form

gegenüber dem Kompomer und der Dentinadhäsiv-Komposit-Kombination. signifikant schlechteren Abschneiden der lichthärtenden Glasionomerzemente Füllungsränder nach dem Ausarbeiten und zu den Kontrollterminen) sehr rasch zur Fällen bereits das Trockenblasen des Operationsfeldes (zur genauen Inspektion der von Ketac-Glaze® unmittelbar nach dem Ausarbeiten (Inoue 1994), führte in einzelnen Restaurationen mit Photac Fil® und Fuji II LC® vor Austrocknung durch Applikation gegen Austrocknen (Mount 1993) stellt nach wie vor ein Problem dar. Trotz Schutz der Glasionomerzementen (Katsuyama 1993, Davis et al. 1993), doch die Empfindlichkeit kunststoffmodifizierter Zwar besteht eine Glasionomerzemente führten bezüglich des Kriteriums "Anatomischen Form" zu einem Dies und die bereits angesprochene geringe Abrasionsbeständigkeit lichthärtender Austrocknung und zur Ausbildung von Craquelee-Sprüngen in der Füllungsoberfläche deutliche Verbesserung der Materialeigenschaften Glasionomerzemente gegenüber konventionellen

6 Schlußfolgerung

Dem praktisch tätigen Zahnarzt stehen nun seit ca. 2 Jahren lichthärtende Glasionomerzemente und Kompomere als neue Alternativen bei der Auswahl der Füllungsmaterialien zur Verfügung. In vielen In-vitro-Simulationen wurden sie bereits bezüglich ihrer Eigenschaften und klinischen Eignung getestet (Momoi 1993, Kunzelmann 1994, Charlton und Haveman 1994, Reich 1994, Sidhu 1994, Attin et al. 1995, Feilzer et al. 1995, Hildebrand 1995, Swift et al. 1995, u.v.m.). In-vitro-Simulationen helfen, klinische Beobachtungen, z.B. Quellungsphänomene, genauer zu erklären. Gleichzeitig kann unter verschärften Bedingungen im Rahmen der Werkstoffentwicklung eine rasche Optimierung hinsichtlich einzelner Kriterien erfolgen. Erst die klinische Anwendung kann jedoch die Relevanz der einzelnen Aussagen, z.B. Dentinhaftung der Kompositkontrollgruppe, relativieren.

Als Nachteil der klinischen Studien muß allerdings der damit verbundene hohe Aufwand, die hohe Streuung im biologischen System, die geringere Sensitivität z.B. gegenüber Randspalten und der lange Beobachtungszeitraum genannt werden. Der Beobachtungszeitraum der hier vorliegenden Studie ist mit 15 Monaten noch relativ kurz, so daß bei der klinischen Beurteilung geringgradige Veränderungen noch nicht erfaßt werden können. Nicht beurteilbar sind derzeit einzelne Unterschiede zwischen den Werkstoffen, wie etwa der Einfluß der Fluoridabgabe. Während diesbezüglich die kunststoffmodifizierten Glasionomerzemente in vitro einen deutlichen Vorteil aufweisen, kann dies bisher klinisch noch nicht ausreichend beurteilt werden. Allerdings darf man hier auf Analogien zu konventionellen Glasionomerzementen verweisen (Momoi 1993). Im Untersuchungszeitraum von 15 Monaten ist bisher bei keiner der nachuntersuchten Restaurationen ein Fall von Sekundärkaries aufgetreten.

Auf der Grundlage der Ergebnisse dieser In-vivo-Studie lassen sich nun folgende klinische Empfehlungen für die verglichenen Materialien ableiten:

 Steht bei der Versorgung keilförmiger Defekte die Ästhetik im Vordergrund, liegen überwiegend schmelzbegrenzte Kavitäten oder abrasionsbedingte keilförmige Defekte

vor, wird nach den Ergebnissen dieser Studien, wegen des hervorragenden Randverhaltens im Schmelz sowie der guten Abrasionsbeständigkeit eine Komposit-Dentinadhäsiv-Kombination (in dieser Studie: Tetric®/Syntac®) empfohlen. Zudem ist bei den neuesten Dentinadhäsiven mit "All-etch-Technik" ein verbesserter Randschluß in dentinbegrenzten Bereichen zu erwarten.

- Dem Kompomer sollte der Vorzug gegeben werden, wenn eine einfache und schnellere Handhabung entscheidend ist, insbesondere auch, wenn überwiegend dentinbegrenzte Defekte vorliegen. Das Kompomer (Dyract®) zeigte einen befriedigenden Randschluß, obwohl auf Kofferdam verzichtet wurde und weder Schmelzanschrägung noch Schmelzätzung durchgeführt wurden. Dies scheint für die tägliche Praxis von großer Bedeutung. Empfehlenswert ist ein Nacharbeiten der Füllung nach einer Liegedauer von wenigen Monaten, um Quellungsüberschüsse zu entfernen und einer verstärkten Plaqueanlagerung und möglicher Sekundärkaries in Füllungsrandbereichen vorzubeugen.
- Zeigen Patienten eine erhöhte Kariesaktivität bzw. geringe Compliance bei der Mundhygiene, ist wegen der höheren Fluoridionenabgabe ggf. ein Glasionomerzement in Erwägung zu ziehen. Von den beiden untersuchten, kunststoffmodifizierten Glasionomerzementen ist Fuji II LC® zu bevorzugen. Für das Material Photac Fii® wäre eine Verbesserung der Materialeigenschaften wünschenswert. Grundsätzlich empfiehlt sich der Einsatz der kunststoffmodifizierten Glasionomerzemente nur bei Kavitäten ohne dünn auslaufende Füllungsränder.
- Zusammenfassend läßt sich festhalten, daß mit Komposit und Dentinadhäsiv die besten, aber auch aufwendigsten Füllungen gelegt werden können. Mit den neuen Kompomeren läßt sich sowohl hinsichtlich Ästhetik als auch Randschluß ein befriedigendes Resultat, bei gleichzeitig einfacherer Handhabung für den Zahnarzt, erzielen.

7 Zusammenfassung

Die Entwicklung der lichthärtenden Glasionomerzemente bzw. der Kompomere stellt einen neuen Ansatz zur konservierenden Versorgung keilförmiger Defekte dar. Von der Kombination der Vorteile von Glasionomerzementen mit den Vorteilen der Lichthärtung erwartet man einen Fortschritt im Bereich der Entwicklung hochwertiger ästhetischer Füllungstherapie. In der vorliegenden klinischen Studie wurden als Vertreter der lichthärtenden Glasionomerzemente Photac Fil® Aplicap und Fuji II LC® mit dem Kompomer Dyract® sowie als Kontrollgruppe das Komposit Tetric® in Kombination mit dem Dentinadhäsiv Syntac® bei der Versorgung von Klasse-V-Kavitäten verglichen.

Inspektion beurteilt. Insgesamt konnten im ersten Nachuntersuchungsintervall 177 de mittels Photodokumentation, Abdrucknahme und Replikaherstellung, sowie klinischer von 8 und 15 Monaten nach dem Legen der Füllungen. Die Restaurationen wurder calciumhydroxidhaltigen Präparat. Die Nachuntersuchung erfolgte in einem Zeitraum mm angenommen werden, erfolgte eine Dentinabdeckung mit angeschrägt. Mußte aufgrund der Kavitätenausdehnung eine Distanz zur Pulpa < 1,5 anschließend mit Komposit versorgt werden sollten, wurden im Schmelzbereich die Ränder des dadurch entstandenen Defektes geglättet. Klasse-V-Kavitäten, die Feinkorndiamanten geglättet. Kariöse Läsionen am Zahnhals wurden exkaviert und falls erforderlich Karies fluoridfreien Polierpaste gereinigt. Insuffiziente Zahnhalsfüllungen wurden entfernt verzichtet. Erosionen bzw. kariesfreie keilförmige Defekte wurden mit einer erzielen. Auf eine "retentive" Präparation mit Unterschnitten wurde grundsätzlich Verteilung der verschiedenen Defektklassen auf die einzelnen Füllungswerkstoffe zu erfolgte randomisiert unter dem Gesichtspunkt, eine möglichst ausgewogene Füllung (71) und kariöser Zahnhals (57). Die Zuordnung der Füllungswerkstoffe Defektklassifikation in drei Kategorien: Erosion/ keilförmiger Defekt (69), insuffiziente Patienten im Alter von 26 - 67 Jahren versorgt. Bei der Befunderhebung erfolgte eine Insgesamt wurden 197 Zahnhalskavitäten im Front- und Prämolarenbereich bei 37 gelegten Klasse-V-Restaurationen beurteilt werden. exkaviert und die Kavitätenränder mit Die

Nachuntersuchung konnte an 157 Restaurationen durchgeführt werden. Das Bewertungsschema des United States Public Health Service (USPHS) für klinisch epidemiologische Untersuchungen diente in modifizierter Form als Basis für den Entwurf eines Nachuntersuchungsbogens. Die Restaurationen wurden auf folgende klinisch faßbare Parameter geprüft: Farbstabilität, Oberfläche/Textur, Randverfärbung Schmelz bzw. Zement, Füllungsrand Schmelz bzw. Zement und Anatomische Form. Die Ergebnisse der Untersuchungssystematik wurden anschließend vier Bewertungskategorien ("alpha", "bravo", "charlie", "delta") zugeordnet, so daß daraus eine abschließende Qualitätsbezeichnung der Restaurationen resultierte.

sie auch die in der Verarbeitung aufwendigste Materialgruppe dar diese für den Einsatz im Zahnhalsbereich als am besten geeignet aus. Allerdings stellt auch funktionell guten Ergebnisse der Komposit/Dentinadhäsivkombination weisen der einfacheren Handhabung bei diesem Material etwas relativiert. Die ästhetisch und erfordert jedoch eine gründlichen Nachsorge der Restaurationen, bei der Quellungsüberschüsse entfernt werden müssen. Dadurch wiederum wird der Vorteil und Randständigkeit dem Komposit sehr ähnlich. Das starke Quellungsvehalten weniger gut gerecht, und stellen wegen ihrer geringen Abrasionsbeständigkeit bei der Glasionomerzemente Photac Fil® und Fuji II LC® werden auf Grund ihrer Glasionomerzementen, Kompomeren und Kompositen eine sorgfältige erfordern die unterschiedlichen Materialeigenschaften von lichthärtenden in nicht retentiv präparierten Klasse-V-Kavitäten gerecht zu werden. Dennoch Wahl dar. Das Kompomer Dyract® ist im Hinblick auf Ästhetik Abrasionsbeständigkeit Versorgung abrasionsbedingter keilförmiger Defekte nicht das Füllungsmaterial der Oberflächenrauhigkeit dem ästhetischen Anspruch an ein Füllungsmaterial langfristig Indikationsstellung für deren Einsatz im Zahnhalsbereich. Die kunststoffmodifizierten daß grundsätzlich alle 4 Materialien ausreichende Haftkraft aufweisen um dem Einsatz Syntac®/Tetric® >Dyract® >Fuji II LC® >Photac Fil®. Die geringe Verlustrate zeigt konnte eine Rangfolge der verwendeten Füllungsmaterialien erarbeitet werden Klasse-V-Füllungen insgesamt zufriedenstellend. Aus der Untersuchungssystematik Nach einem Beobachtungszeitraum von 15 Monaten war das klinische Verhalten der

8 Literatur

hypersensitivity: committee on dentinal Ad hoc advisory

Krejci, I., Airoldi, R.L.,

Prinz, H., Hellwig, E Kielbassa, A.M., Buchalla, W. Attin, T., Vataschki, M.,

Kunzelmann, K.H., Bauer, C.M., Hickel, R.

Buonocore, M.G.

Buonocore, M.G.

Charlton, D.G., Haveman, C.W

Cury, C.G., Teixeira, L.C., Leinfelder, K.F.

> J Dent Res 71, Abstract No. 1172 (1992) Clinical Evaluation of a new Dentin Adhesive

Wieczkowski, G. Jr., Giordano, L. Joynt, R.,

Υu, Χ., Davis, E.L.,

Erickson, R.L.

Erickson, R.L., Glasspoole, E.A.

of dentinal hypersensitivity. J Am Dent Ass 112, 709-710 (1986) Recommendations for evaluating agents for the reduction

In vitro evaluation of dentinal bonding agents in mixed Class V cavity preparations. Quintess Int 23, 5, 355-361 (1992)

Randqualität von "lichthärtenden" Glasionomerzementen

Dtsch Zahnärztl Z 51, 17-22 (1996) V-Kavitäten. und Dyract® in keilförmigen Defekten, Klasse I- und Klasse

J Dent Res 75, Abstract No. 180 (1996) Wear characteristics of dental materials in a three-body-

A simple method of increasing the adhesion of acrylic filling materials to enamel surface.

J Dent Res 34, 849-853 (1955) Charles C. Thomas, Springfield, Illinois (USA), 1975 p. 249 The use of adhesives in dentistry.

Dentin surface treatment and bond strength of glass

Am J Dent 7, 47-49 (1994)

Shear strength and mikroleakage of light-cured glass

Am J Dent 6, 127-129 (1993)

Surface interactions of dentin adhesive materials. Oper Dent Suppl 5, 81-94 (1992)

Glass Ionomers, Philadelphia 1994, p. 101-122 lonomer and Composite Resin Systems. Proceedings of the 2nd International Symposium on Bonding to Tooth Structure: A Comparison of Glass

> Powers, J.W. Farah, J.W.,

Feilzer, R.J., Kakaboura, A.I.,

Davidson, C.L. de Gee, A.J.,

Firla, M.Th.

Forsten, L.

Gillam, D.G., Newman, H.N.

Götze, W.

Haller, B.

Harndt, E.

Attin, T. Hellwig, E. Klimek, J.,

Bayne, S.C. Heymann, H.O.,

Hickel, R.

Hickel, R

Hickel, R.

Dentin bonding agents and adhesive cements The Dental Advisor 8, 3, 1-8 (1991)

glass ionomer cements. setting shrinkage stress in traditional and resin-modified Dent Mater 11, 186-190 (1995) The influence of water sorption an the development of

Glaspolyalkenoat-(ionomer)zement-Restaurationen. Quintess 43, 1911-1917 (1992) Ergonomisch rationelles Ausarbeiten von Klasse-V-

Fluoride release from a glass-ionomer cement. Scand J Dent Res 85, 503, (1977)

J Clin Periodontol 20, 383-394 (1993) Assessment of pain in cervical dentinal sensitivity studies

Dtsch Zahnärztl Z 35, 486-488 (1980) Zur Reizwirkung plastischer Füllungsmaterialien auf die

Dtsch Zahnärzti Z 49, 750-759 (1994) Mechanismus und Wirksamkeit von Dentinhaftvermittlern

Die Zahn-, Mund- und Kieferheilkunde. Ein Handbuch Caries, Klinik und Therapie. In: Meyer W. (Hrsg) Urban & Schwarzenberg, Berlin (1955) S.328 für die zahnärztliche Praxis Bd 2.

Einführung in die Zahnerhaltung. Urban & Schwarzenberg, München (1995) S.133-170

als Füllungsmaterial J Am Dent Ass 124, 27-36 (1993) Einsatzgebiete und -verfahren von Glasionomerzement Current concepts in Dentin Bonding

Dtsch Zahnärztl Z 47, 654-658 (1992) Der kariöse Zahnhals

Zahnärztl Mitt 79, 914-919 (1989)

Die zervikale Füllung Dtsch Zahnärzti Z 49, 13-19 (1994)

Schriever, A., Heidemann, D. Katsuyama, S., Ishikawa, T., Inoue, M., Ping, T., Onoe, N., Yamada, T., Hildebrand, H.C,. Takatsu, T. Käse, R. Randverhalten von zervikalen Füllungen mit Ketac Fil® und Dtsch Zahnärztl Z 50, 787-789 (1995) Dyract® an Permanentes und Decidui in vitro. De Trey Dentsply, Konstanz (1993) Zusammenstellung der verfügbaren Daten zu Dyract®. Proper Polishing Technique for Fuji II LC Cement Glass Ionomer Dental Cement. Jap J Conserv Dent 37, 6 (1994) Ishiyaku Euro America, Inc.Publishers, St. Louis, (1993)

Kemp-Scholte, C.M., Overhang of Class V composite resin restorations from hygroscopic expansion.

Fuji, B.

p. 16-24, p. 166-169

Klimm, W., Graehn, G. Davidson, C.L. Quintess Int 20, 551-553 (1989) Quintessenz Berlin (1993) S. 21, 35, 40, 147, 148, 158 Der keilförmige Defekt

Körber, K.H Die elastische Deformierung menschlicher Zähne. Dtsch Zahnärzti Z 17, 691-698, (1962)

Schweiz Monatsschr Zahnmed 103, 615-619 (1993) Standortbestimmung in der konservierenden Zahnmedizin.

Häusler, F., Lutz, F. Krejci, I., Gebauer, L., Schweiz Monatsschr Zahnmed 104, 724-729 (1994) Kompomere - Amalgamersatz für Milchzahnkavitäten?

Krejci, I., Lutz, F., Oddera,M. Aktueller Stand der Kompomere. Der freie Zahnarzt 9, 52-57 (1995)

Kulimann, W Kullmann, W Dtsch Zahnärzti Z 40, 922-926 (1985) Restauration zervikaler Läsionen. Dentinhaft-Komposit und Glasionomer-Zement zur Glasionomerzementen im Vergleich zu konventionellen Werkstoffkundliche Eigenschaften von

Dtsch Zahnärztl Z 45, 286-288 (1990) lichthärtenden Komposit-Kunststoffen. Sorptions- und Lösungsvorgänge bei selbst- und

Dtsch Zahnärztl Z 41, 660-666 (1986)

Kullmann, W.

Bauer, M., Hickel, R. Kunzelmann, K.H., Randdichtigkeit "lichthärtender" Glasionomerzemente und

Kompoionomere in dentinbegrenzten zervikalen Kavitäten. Tafeldemonstration. 118. Jahrestagung der DGZMK Travemünde (Oktober 1994)

Lange, D.E. Parodontologie in der täglichen Praxis Quintessenz (1983) S. 85-97

Bader, J.D., Shugars, D.A., Heyman, O.H. Levitch, L.C., J Dent 22, 195-207 (1994) Non-carious cervical lesions.

Schüpbach, P. Krejci, I., Lutz, F., Schweiz Monatsschr Zahnmed 103, 684-695 (1993) Adhäsivsysteme für Zahnfarbene Restaurationen.

Mühlemann, H.R. Ochsenbein, H., Lutz, F., Lüscher, B., Jurisverlag, Zürich (1976) S.32-51 Adhäsive Zahnheilkunde

Maldonaldo, A., An in-vitro study of certain properties of a glass-ionomer

Swartz, M.L., Phillips, R.W. Marolf, R. J Am dent Ass 96 (5), 785 (1978)

Schweiz Monatsschr Zahnmed 94, 117-133 (1984) Glasionomerzemente - Materialeigenschaften und klinische Anwendung. Eine Literaturübersicht

1987, Prophylaxe-Parodontologie-Prothetik. Quintessenz, Berlin (1987) S. 89-98 Der keilförmige Defekt. In: Bayerische Landeszahnärztekammer (Hrsg): Bayrischer Zahnärztetag

Volk, W Mierau, H.D.,

Völk, W. Mierau, H.D., Haubitz, I., Gewohnheitsmuster beim Gebrauch der Handzahnbürste Dtsch Zahnärztl Z 44, 836-841 (1989)

Glass Ionomers, Philadelphia (1994) p. 13-22 Proceedings of the 2nd International Symposium on Curing Reactions of Glass Ionomer Materials

McCabe, J.F Fluoride release from light-activated glass ionomer Dent Mater 9, 151 (1993) restorative cements.

Clinical placement of modern glass-ionomer cements Quintess Int 24, 99-107 (1993)

Mount, G.J

Momoi, Y.,

Mitra, S

Pashley, D.H., Pashley, E.-L. Schwickerath, H Nolden, R., Nolden, R. Nienkarken, D. Ryge, G., Snyder, M. Reich, E., Völkl, H. Pashley, D.H. Dettenhofer, G., Reinelt, C., Krämer, N., Pashley, D.H., Ciucch, H., Sano, H. Prati, C. Prati, C., Montanari, G Petschelt, A. Smith, D.C. Smith, D.C Sidhu, S.K Schmelzveränderungen durch saure Nahrungsmittel. Dtsch Zahnärztekalender 44, 41-60 (1985) Die Frontzahnfüllung. Dtsch Zahnärztl Z 49, 921-925 (1994) for the American Journal of Dentistry. Der Einfluß von Haftvermittlern auf die Randdichte von Med Diss Berlin 1992 J Dent 22, 2, 83-88 (1994) permeability tests? Dent Mat 7, 54-58 (1991) Hydrostatic intrapulpal pressure and bond strength of Validität und Reliabilität klinischer Kriterien für adhäsive Dtsch Zahnärztl Z 49, 760-763 (1994) Dentin as a Bonding Substrate Am J Dent 4, 5 - 9 (1991) Dentinpermeability and restorative dentistry: a status report Zahnärztl Welt 4, 287-290 (1984) Kompositions-Kunststoff-Füllungen. Glasionomerzementen. What is the clinical relevance of in vitro dentine bonding systems Inlaysysteme. J Am Dent Ass 87, 369-377 (1973) Evaluating the clinical quality of restaurations Dtsch Zahnärztl Z, 49, 263-266 (1994) Randqualität von Zahnhalsfüllungen aus lichthärtenden Proceedings of the 2nd International Symposium on J Am Dent Assoc 120, 20-22 (1990) Composition and characteristics of glass ionomer cements Am J Dent, 7, 115-117 (1994) Marginal contraction gap formation of light-cured glass Development of Glass Ionomer Cement Systems

> Vanherle, G. Braem, M., Brännström, M. Van Meerbeek, B. Tyas, M.J Federlin, M., Schmalz, G., Hiller, K.-A Lambrechts, P., Torstensen, B., Chauncey, H.H Going, R.E., Stanley, H.R., Staehle, H.J Swift, E.J.Jr., Thonemann, B., Schröder, H.E. Hirsbrunner, E. Heymann, H.O. Perdigao, J., Schmid, H., Lutz, F., of hygroscopoc expansion and thermal stress Dentinhaftung: Mechanismen und klinische Resultate. Oper Dent 13, 24 (1988) Dtsch Zahnärztl Z 49, 977-984 (1994a) Australian Dent J 40 (3), 167-170 (1995) The Class V lesion - Aetiology and restoration Contraction gap under composite resin restorations; Effect Dtsch Zahnärtzl Z 50, 847-850 (1995) Kunststoffausquellung bei Kavitätenrändern im Dentin. J Am Dent Ass 91, 817-825 (1975) to composite restoration. Human pulp response to acid pretretment of dentine and Quintess 10, 1595-1606, (1990) Dentinwundverbände und ihre praktische Anwendung (II). Thieme Stuttgart (1987) S. 104-105 Orale Strukturbiologie. Schweiz Mschr Zahnmed 96, 679-687 (1986) Klasse-V-Füllungen mit Super-Bond, 2-Jahres-Resultate. of the art, 1995. Bonding to enamel and dentin: A brief history and state Quintess Int 26, 95-110 (1995)

Glass Ionomers, Philadelphia (1994) p. 1-12, p. 16-24

Wieczkowski, G., Davis, E.L.

Quintess Int 21, 12 989-998 (1990)

treated with various dentinal bonding agents

Scanning electron microscopic study of dentinal surfaces

Watson, T.F., Wilmot, D. M. De J.

Syntac adhesive and tooth tissue. J Dent 20, 302 - 310 (1992)

A confocal microscopic evaluation of the interface between

Van Meerbeek, B., Braem, M.,

Morphological characterization of the interface between

Vanherle, G.

Lambrechts, P.,

J Dent 22, 141-146 (1994b)

resin and sklerotic dentine.

**Allgemeiner Befundbogen

s Spezieller Befundbogen

**Befunderhebung

°Kerr Mundspiegel

°Pa-Sonde *Explorersonde

°Zahnärztliche Pinzette

°Vaseline

°Watteträger

*Erythrosin

°CO2-Röhrchen, CO2-Schnee

°Shimstockfolie, Fa. Hanel

°Okklusionsfolie, Fa. Hanel

°Folienhalter

er Zahnreinigung

°Gummikelch Nr. P412 , Fa. Blend-a-mant °Winkelstück grün

°Zircate® Prophy Paste (fuoridfrei), Fa. Dentsply

°Zahnseide Fa. Becht

MATERIALLISTE: BEHANDLUNGSSITZUNG

⊯Zahnreinigung

Gummikelch Nr. P412,

Fa. Blend-a-mant

°Zircate® Prophy Paste (fluoridfrei), "Winkelstück grün

Fa. Dentsply

°Zahnseide Fa. Becht

#Photodokumentation

Photoapparat

°Film Agfachrome RS 50 Plus

°Lippenspreizer, groß, mittel

Präparation

°Kerr Mundspiegel

Explorersonde

*Rosenbohrer mittel,klein anatomische Pinzette

°Diamantsatz, Fa. Bland.a-mant

- D249-012f

- D202-010sf

- D249-012

Winkelstück rot

relative Trockenlegung

Watterollen

°dry-tips®, Fa. Mölnlycke

regingivales Management

zahnärztliche Pinzette

"Heidemannspatel

°Surgident Gingival® Retraktionsfäden

Stärke 1 und 2, Fa. Surgident

*Elektrotom

- Unterfüllung

°Dycal®, Fa. De Trey

*Anmischblock

*Kugelstopfer "Zementspatel

⊯ Füllungsapplikation

°Einmalpinsel + Halter

"Zervikalmatrizen Hawe Transparent Set

°Nr. 850, Fa. Hawe Neos

*Matrizenhalter

°Lösche-Instrument Sichelscaler

*UV-Lampe Heliolux GT, Fa. Vivadent

r Füllungsmaterialien ■

*Photac Fil® Aplicap , Fa. Espe

°zugehörige Farbskala

*Ketac-Conditioner

"Hochfrequenzmischer

"Kapselaktivator

"Kapselapplier

*Syntac@/Tetric® , Fa. Vivadent

Biochromatic Skala

*Syntac® Prime-Adhesive-Bond

*Dyract®, Fa. De Trey

"zugehörige Farbskala

°PSA-Prime/Adhesive

*Compuleapplier

*Fuji II LC® , Fa. GC

*Ketac-Conditioner

*Hochfrequenzmischer

ArAusarbeitung, Politur

°Soflex Pop-on® Scheiben, Fa. 3M

*Silikonpolierer

Finierstreifen, Fa. 3M

Enhance® Polierset, Fa. De Trey

°Prisma Gloss® Polierpaste,

Fa. Dentsply

Sichelscaler

Dokumentationsabformung

°Unosil® Abdruckmaterial, Fa. De Trey

°lmpregumspritze

Anmischblock

Anmischspatel

°Palatrey® LC Abdrucklöffel, Fa. Kulzer

*Dokumentationsbogen

■Nachuntersuchungsbogen farbcodiert

MATERIALLISTE: NACHUNTERSUCHUNGSSITZUNG

*weiß = erste Nachuntersuchung

"rosa = zweite Nachuntersuchung

*gelb = dritte Nachuntersuchung

**Befunderhebung

*Kerr Mundspiegel

"Explorersonde

°Zahnärztliche Pinzette

°CO2-Röhrchen, CO2-Schnee

#Photodokumentation

Photoapparat

°Film Agfachrome RS 50 Plus

*Lippenspreizer, groß, mittel

*Spiegel

■ Dokumentationsabformung

"Heidemannspatel

°Surgident Gingival® Retraktionsfäden 1/2, Fa. Surgident

"Unosit® Abdruckmaterial, Fa. De Trey

°lmpregumspritze

*Anmischblock

*Anmischspatel

*Abdrucklöffel

°Epoxidie®, Fa. Ivoclar

Zahnreinigung

°Gummikelch Nr. P412, Fa. Blend-a-mant

°Winkelstück grün

°Zircate® Prophy Paste (fuoridfrei), Fa. Dentsply

°Zahnseide, Fa. Becht

Befund Zahnersatz Vitalitätsprüfung Klopfempfindlichkeit Taschentiefe Lockerung Lockerung Klopfempfindlichkeit Vitalitätsprüfung Zahnersatz Befund Beruf: Unterschrift Behandler: Befund: Geschlecht: Allgemeiner Befundbogen Geburtsdatum: Anschrift: Name, Vorname: männlich 🛘 Lockerung aschentiefe SBI: % weiblich Mundhygieneaufklärung: Ja 🗆 Nein 🗌 **Unterschrift Monitor:** Telefon: Kofferdam: Ja Nein Datum

Spezieller Befundbogen

Pat.-Nr.:

Datum

		kontakt	C	Sekundărkaries	,
		Madiatania	,	Filliung vorhanden	.
		Laterotusions- kontakt	C	Füllung vorhanden, o.B.	u
Hypersensibilität (Grad 1 - 10)		Abrasion, Schliffacette	CCG	Keilförmiger Defekt, Erosion	N
keine Beschwerden	0	Shimstockfolle hăt	Α	Karies	-13
	£	E skillusaler Konkale	9	(Alduelle) Zustand	2016

Dokumentationsbogen Behandlungsart

III Füllungsmaterial	II Unterfüllung	I Präparationsform	Zahn		Zahn	I Präparationsform	II Unterfüllung	III Fullungsmaterial	PatNr.:
			45 44 43 42	8	15 14 13 12				
			2 41 31 32		11 21 22				Da
			33 34 35		23 24 25				Datum

U1	44	£J.	N		9
					Code
keine Schr	Sch	nic	alte	nur	
ne nmelz	ımek	nt exi	Resi	nur exkaviert	dour.
ansc	ansc	nicht exkaviert	alte Restauration entfernt und exka	viert	don
keine Schmelzanschrägung	Schmelzanschrägung	_	alte Restauration entfernt und exkaviert		Präparationsform
Bur	gur		iert .		a.
		La Carte	4	ı	Cod
			•		8
			Unterfü Dycal®	keine Unter	116
			al@	keine Unterfüllung	ikerti
			Unterfüllung mit Dycal®	Dgni	Unterfüllung
	Design Control		₽		
	0	C	B	٨	Code II Fillungsmat
	77		(0	F	
	gii	Dyract®	Synta	hota	17:01
	Fuji II LC®	8	Syntac®/Tetric®	Photac Fik®	Bun
			etric@	•	Sapar
					er la

Verlustbogen Pat.-Nr.: Geburtsdatum:

Zahn

Datum

Name, Vorname:

Geschlecht:
männlich

weiblich [

Behandler:

	Modell		Photo
Vor Entfenen der Füllung	Verlust der Füllung	Vor Entfernen der Füllung	Verlust der Füllung
i G	Ja	ta a	GE BB
Neg 3	Nein	Wen	Nem

Unterschrift Behandler:

Übersichtsliste zur Nachuntersuchung

037.	036	035	034	033	032	031	030	029	028	027	026	025	024	023	922	021	020	019	018	017	016	015	014	013	012	011	010	600	800	007	006	005	004	003	002	001
22.09.94	29.09,94	28.09.95	14.10.94	08.08.94	NICHT ERSCHIENEN	08.07.94	27,07,94	15,06,94	09,08.94	29.06.94	27.04.94	15.06.94	28.02.94	30.03.94	25.03.94	28,06,94	NICHT ERSCHIENEN	13.07.94	19.01.94	18.01.94	24.02.94	11.02.94	27,01,94	16,05,94	20.12.93	NICHT ERSCHIENEN	09.02.94	30.03.94	27.07.93	28.03.93	08.07.93	28,01,94	04,08.93	NICHT ERSCHIEVEN	24.11.93	21.12.93
24.55.95	17,05,95	15.01.95	12.06.95	09.02.95	00,00,00	21.06.95	04,95,96	23,01,96	22,11,94	28.04.95	28.11.94	10.11.94	09,09,94	07.11.94	12,10,94	NICHT ERSCHIENEN	00.00.00	17.11.94	MICHT ERSCHENEN	06,10,94	17,11,94	07:10:94	11,10,94	23,11,94	12:09:94	00.00.00	19:11:94	30.08.94	19.08.94	13,89,94	01,89,94	07,09,94	16.89.94	00.00.00	01.05.95	38.88.94
24 47 22	19.12.95	31,08,98	NACHT ERSCHIENEN	24.00.96	00.00.00	14.12.95	06.12.95	23.05.95	28.04.95	20.12.96	04.05.95	23.08.95	09:06:98	28.08.95	07.12.95	00.00.00	00.00.00	24.04.35	08.00.80	23.08.95	25,04,98	10,05.98	28.04.95	24,08.95	15.05.95	09.00.00	NICHT ERSCHIMEN	18.04.95	12.06.96	18,04.96	26.04.95	16.05.95	08,6595	00,00,00	28.12.96	12.114.34

Nachuntersuchungsbogen

Datum

Pat.Nr.

Zahn

Füllungsmaterial

Sekundärkaries nein	Farbstab無償 keine Veränderung zum Ausgangsbefund	Anatomische optimal Form	Füllingerand o.B. Wurzelzement	Füllungsrand o.B. Schmeiz	Randverfärbung keine Wurzetzement	Randverfäthung keine Schmelz	Oberfliche unauffallig Textur
	sichtbare Verfärbung der gesamten Füllung	Substanzverlust im Sinne von Absplitterung, Abrasion, Rißbildung oberflächlich, tolerabel	positive Stufe (zuviet Füllungsmateriet), tastbar, korrigierbar	positive Stufe (zuviel Füllungsmaterial), tastbar, korrigierbar	Fullungsüberschuß, verfärbt, polierbar	Füllungsüberschuß, Verfärbt, polierbar	sondierbare Raufttiefe,
		Substanzverlust im Sinne von Abspitterung, Abrasion,Rißbildung, nicht tolerabel	negative Stufe (zu wenig Füllungsmaterial), nicht korrigierbar (lokalisiert)	negative Stufe (zu wenig Fullungsmaterial), nicht korrigierbar (lokalisiert)	starke Randverfärbung durch Politur nicht entfernbar (lokalisiert)	starke Randverfärbung durch Politur nicht entfembar (lokalisiert)	
a a		ganz oder teilweise Verlust der Füllung	negative Stufe (zu wenig Fullungsmaterial), nicht korrigierbar (generalisiert)	negative Stufe (zu wenig Füllungsmaterial), nicht korrigierbar (generalisiert)	starke Randverfärbung durch Politur nicht entfernbar (generalisiert)	starke Randverfärbung durch Politur nicht entfernbar (generalisiert)	

Bemerkungen:

Danksagung

Zunächst möchte ich mich bei Herrn Prof. Dr. R. Hickel, Direktor der Poliklinik für Zahnerhaltung und Parodontologie für die Überlassung des Dissertationsthemas und für seine Unterstützung bei der Bearbeitung bedanken.

Weiterhin gilt mein Dank Herm OA Dr. K.H. Kunzelmann für die Betreuung während der Laufzeit der klinischen Studie .

Sodann möchte ich vor allem ZMA Ruth Oswald und allen anderen Mitarbeiterinnen und Mitarbeitern der Poliklinik danken für die hilfreiche Unterstützung bei der Patientenbetreuung, Behandlung und Erstellung der Dokumentationsunterlagen für die klinische Studie.

Schließlich möchte ich besonders herzlich auch meinen Eltern danke dafür sagen, daß sie mir dieses Studium ermöglicht haben, und mir dabei stets hilfreich zur Seite standen.

Lebenslauf

Persönliches

Name:

Vornamen: Geburtsdatum: Geburtsort:

Eltern:

Vilsbiburg

14.01.1963

Loher Cornelia Elisabeth Maria

Geschwister:

Johann Loher, Schreinermeister Else Loher , geb. Hones

Hermann Loher Angelika Loher Hans Loher

Ausbildung

1969 - 1973

25.02.1992

Beruf

seit 01.03.1992

Grundschule Gerzen Staatl. Gymnasium Vilsbiburg Abitur

Berufsausbildung Zahnarzthelferin Berufstätigkeit Zahnarzthelferin Studium der Zahnheilkunde an der Ludwig-Maximilians-Universität München
Approbation als Zahnärztin

Poliklinik für Zahnerhaltung und Parodontologie Direktor Prof. Dr. R. Hickel Assistentin an der Universitätszahnklinik München,